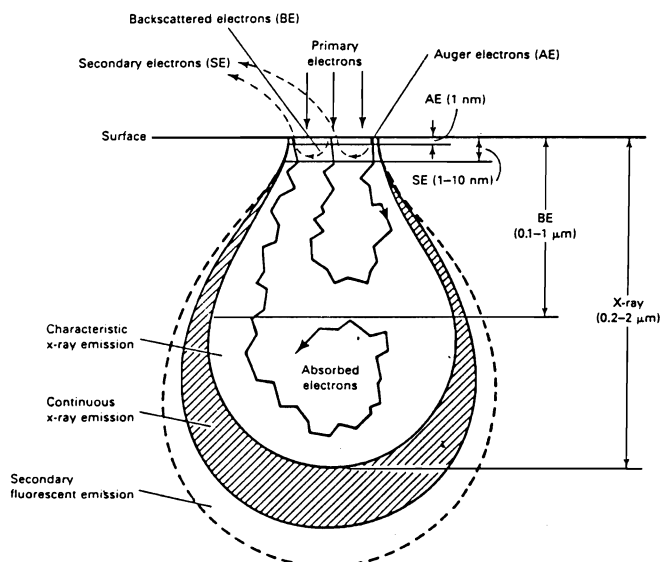




# Energy Dispersive Spectrometer (EDS)

ผศ.ดร.ประسنศ์ ศรีเจริญชัย  
ภาควิชาวิศวกรรมโลหะ คณะวิศวกรรมศาสตร์  
จุฬาลงกรณ์มหาวิทยาลัย

กล้องจุลทรรศน์อิเล็กตรอน (SEM) คงเป็นที่รู้จักกันดี สำหรับผู้เกี่ยวข้องว่าเป็นกล้องจุลทรรศน์ที่ให้ภาพที่มีความลึกได้ สามารถขยายได้เป็นหมื่นเท่า (กำลังขยายสูงสุดอาจได้ถึง 200,000 เท่า) ชิ้นงานที่จะดูต้องเป็นวัสดุที่เป็นของแข็งจำพวกเซรามิก โลหะ โพลิเมอร์ และแม้แต่งานทางด้านชีววิทยา ก็ได้อย่างไรก็ดี กล้องจุลทรรศน์อิเล็กตรอน จำเป็นต้องทำงานภายใต้สภาพของสูญญากาศ (โดยทั่วไปคือ  $10^{-4}$  Torr) ชิ้นงานต้องนำไปฟื้นฟ้าได้ (อาจเคลือบชิ้นงานด้วยธาตุที่ทำให้นำไฟฟ้าได้ หรือใช้ Volt, Acc.V. ต่อ) ขนาดชิ้นงานถูกจำกัดให้ใหญ่เท่าที่จะนำใส่เข้าไปในห้อง (chamber) ชิ้นงานได้เท่านั้น



**รูปที่ 1** Types of electron-beam-excited electrons and radiation used in SEM and the depth of the region below the specimen surface from which information is obtained.

ในกล้องจุลทรรศน์อิเล็กตรอนนี้ ลำอิเล็กตรอนจะตกกระทบชิ้นงานแล้วให้สัญญาณต่างๆ ออกมายหลาบชนิด ดังรูปที่ 1. ภาพ SEM ที่เราดูจากอุปกรณ์เป็นภาพที่ได้มาจาก Secondary electron สำหรับกล้องบางกล้องที่ติด detector ของ backscatter electron อยู่ด้วยก็สามารถให้ภาพจาก backscatter electron ได้ นอกจากนี้ก็ยังมี characteristic X-ray ออกมายจากชิ้นงาน หากเรามี detector สำหรับตรวจวัด X-ray ชนิดนี้แล้ว เรา ก็จะสามารถวิเคราะห์ได้ว่าชิ้นงานประกอบด้วยธาตุอะไรบ้าง ทั้งนี้ เพราะว่าธาตุแต่ละธาตุจะให้ characteristic X-ray ของตัวมันเองแตกต่างกันออกไป อย่างไรก็ตามการตรวจวัด X-ray ที่ออกมายจากชิ้นงานนี้เรามาระดูจากพลังงาน หรือความยาวคลื่นของ X-ray ก็ได้ แต่ละวิธีก็มีข้อดี-ข้อเสีย และเครื่องมือที่จะตรวจวัดแตกต่างกันออกไป ผู้เขียนจะขอเสนอเครื่องมือวิเคราะห์ธาตุที่ตรวจวัดจากพลังงานของ X-ray ก่อน ซึ่งเครื่องนี้มีชื่อเรียกว่า Energy Dispersive Spectrometer (EDS)

## ต้นกำเนิดของสัญญาณ X-ray

อิเล็กตรอนซึ่งวิ่งกระเจิงอย่าง inelastic ภายในปริมาตร การ excite ของชิ้นงานให้พลังงานบางส่วนแก่อะตอมหล่ายอะตอม เพื่อกลับคืนสู่สภาพ ground อะตอมปล่อย quantum เฉพาะของพลังงาน ถ้าอะตอมที่ถูก excite ขึ้น อิเล็กตรอนของ shell ขึ้นในอุบัติใหม่อิเล็กตรอนของ shell ขึ้นนอกเดิมลงซึ่งว่างนั้นและปล่อย X-ray ที่มีพลังงานเท่ากับความแตกต่างระหว่าง shell อิเล็กตรอนทั้ง 2 อิเล็กตรอน K-shell อยู่ใกล้กับนิวเคลียสที่สุดจึงเกาะแน่นกว่าของ L-shell, M- หรือ N-shell ซึ่งอยู่ห่างออกไปจากนิวเคลียร์ตามลำดับ ด้วยเหตุนี้ อิเล็กตรอน K-shell จึงแข็งแรงกว่า L-shell

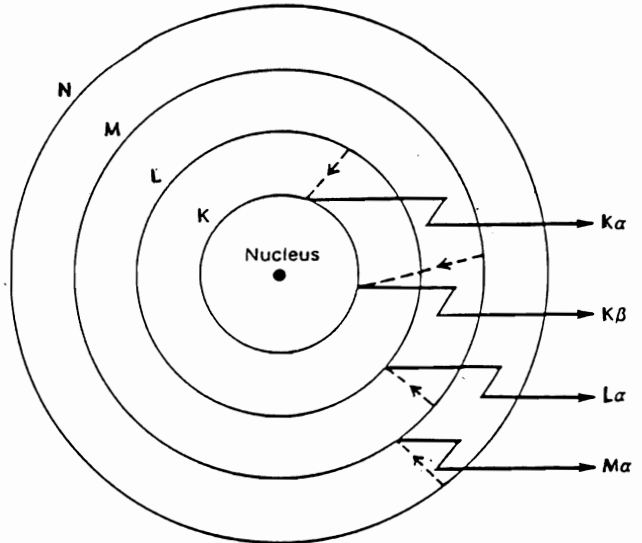
ที่แข็งแรงกว่า M-shell จาก shell ที่กำหนดด้วยแบ่งเป็น  $\alpha$  หรือ  $\beta$  ได้ เช่น  $K\alpha$ ,  $K\beta$ ,  $L\alpha$ ,  $L\beta$ , เป็นต้น และยังแบ่งย่อยออกเป็น  $K\alpha_1$ ,  $K\alpha_2$ ,  $K\beta_1$  เป็นต้น เพื่อความสะดวกในการพิจารณาพลังงานต่างๆ ของอิเล็กตรอนใน shell หนึ่งๆ

ความน่าจะเป็นที่จะเกิดการเปลี่ยนชั้น shell บ่งถึงความเข้มของการปล่อยออกมานะและความน่าจะเป็นนั้นเพิ่มขึ้น เมื่อระยะระหว่าง shell ลดลง  $K\alpha$  X-ray เกิดจาก L-shell มาหา K-shell และมีอัตราการปล่อยออกมามากที่สุด จึงเกิด peak ที่เด่นกว่าการเปลี่ยนชั้น shell อื่น (รูปที่ 2)  $K\beta$  X-ray เกิดจาก M-shell มาหา K-shell เพราะระยะระหว่าง shell เหล่านี้มากกว่าและความน่าจะเป็นของการเปลี่ยนชั้น shell นี้ จะน้อยกว่าการเปลี่ยนจาก L- ไปหา K-shell peak ของ K X-ray ต่ำกว่าของ  $K\alpha$  X-ray  $K\beta$  X-ray มีพลังงานสูงกว่า  $K\alpha$  X-ray เพราะความแตกต่างของพลังงานระหว่าง K-shell และ M-shell มีมากกว่าระหว่าง K-กับ L-shell จึงพอจะกล่าวได้ว่า จะไม่ตรวจพบ  $K\beta$  X-ray นอกจากว่ามี  $K\alpha$  X-ray อยู่ด้วย

เส้น L เกิดจากการเปลี่ยนระหว่าง shell ที่ไกลกว่าจากนิวเคลียส  $L\alpha$  X-ray เกิดจาก M-ไปหา L-shell และเส้น  $L\beta$  เกิดจาก N-ไปหา L-shell ทั้ง 2 เส้นนี้มีพลังงานและความเข้มน้อยกว่า K X-ray และมักจะถูกตรวจพบสำหรับ Fe และธาตุที่หนักกว่า (เส้น  $L\alpha$  ของ Fe อยู่ที่ 0.704 keV) ใช้เส้น L ในการ

identify ธาตุที่หนักกว่า Zr ซึ่งมี atomic number 40 (เช่น Mo, Ag, Cd และ Sn) เส้น K ของธาตุที่หนักกว่าไม่ถูก excite ระหว่างการวิเคราะห์ปกติทั่วไป

shell สุดท้ายที่สนใจใน SEM คือ M-shell เส้น  $M\alpha$  เกิดจาก N- ไปหา M-shell พวกนี้เป็น X-ray ที่แข็งแรงน้อยที่สุด และถูกตรวจจับจากธาตุที่หนักกว่าแลนธันัม (atomie number 57) ธาตุที่ identify ด้วย M-shell คือ Ta, W, Pt, Au, Hg, Pb และ Bi รูปที่ 3 แสดงพลังงานสัมพัทธ์ของ KLM X-ray เป็นฟังก์ชันของ atomie number



#### K shell

$K\alpha$  X-rays are the most intense X-rays and originate from L-shell  $\rightarrow$  K-shell transitions

$K\beta$  X-rays are the most energetic X-rays and originate from M-shell  $\rightarrow$  K-shell transitions

#### L shell

$L\alpha$  X-rays originate from M-shell  $\rightarrow$  L-shell transitions

#### M shell

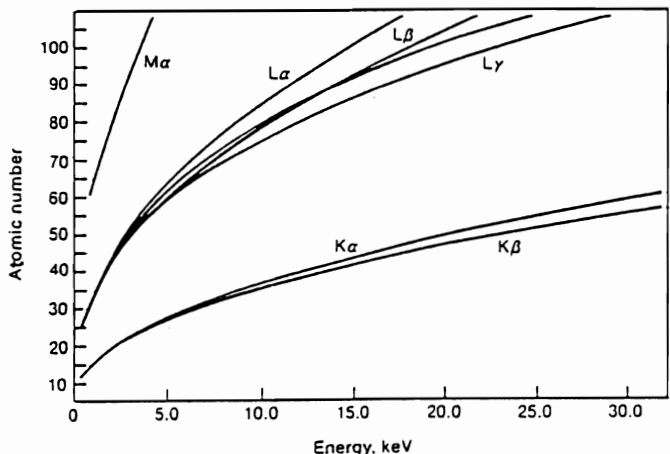
$M\alpha$  X-ray originate from N-shell  $\rightarrow$  M-shell transitions

Energy levels :  $M < L < K\alpha < K\beta$ ; intensity levels :  $K\alpha > K\beta > L > M$

รูปที่ 2 the origin of X-rays as shown in the Bohr model of the atom

สำหรับธาตุที่กำหนดอาจประเมินความเข้มสัมพัทธ์ของเส้นที่ต่างกันโดยใช้ตารางต่อไปนี้ ซึ่งมีเส้น  $K\alpha_1=100$

เส้น K	เส้น L	เส้น M
$K\alpha_1 = 100$	$L\alpha_1 = 100$	$M\alpha_{1,2} = 100$
$K\alpha_2 = 50$	$L\alpha_2 = 10$	$M\beta = 60$
$K\alpha_{1,2} = 150$	$L\beta_1 = 50$	
$K\beta_1 = 15-30$	$L\beta_2 = 20$	
$K\beta_2 = 1-10$	$L\gamma_1 = 1-10$	



**รูปที่ 3** The relation between atomic number and characteristic X-ray lines. (Courtesy of Dr. Nicholas Barbi and PGT)

shell ที่กำหนดจะถูก excite ต่อเมื่อเกิน binding energy ของอิเล็กตรอน กล่าวคือ Acc V ต้องมากกว่า binding energy ของอิเล็กตรอน ส่วน critical excitation-edge energy หรือ absorption-edge energy คือ พลังงานที่น้อยที่สุดที่จำเป็นสำหรับการ excite ของ shell ที่กำหนดและ เผยแพร่ K<sub>ab</sub>, L<sub>ab</sub> และ M<sub>ab</sub>

ตามหลักแล้ว Acc V นั้นควรจะเกิน critical excitation energy ด้วยแฟคเตอร์ 1.5–3.0 เพราะ Acc V สูงสุดของเครื่อง SEM โดยทั่วไปคือ 30 keV พลังงานสูงสุดที่ตรวจจับได้ใน EDS อยู่ในช่วง 10–20 keV พลังงานที่น้อยที่สุดที่ตรวจจับได้อยู่ประมาณ 0.7 keV

โดยสรุปแล้วเครื่องวิเคราะห์ EDS สามารถวิเคราะห์ X-ray ในช่วง 0.7–20 keV ยกเว้นธาตุที่มี atomic number (Z) ต่ำมาก (<10) ทุกธาตุจะปล่อยอย่างน้อยที่สุด 1 X-ray ภายใต้พลังงานนี้ แม้จะไม่สามารถ excite หรือ ตรวจจับ characteristic X-ray ทั้งหมดของธาตุที่กำหนดได้ แต่โดยทั่วไป identify ธาตุธาตุหนึ่งโดยเส้นที่ตรวจจับได้

ในรูปที่ 4 แสดงตัวอย่างของสเปกตรัมของ Fe (atomic number 26) และ Pb (atomic number 82)

characteristic lines	Fe	Pb	ธาตุ , keV
M $\alpha$	---	2.346	
M $\beta$	---	2.443	
L $\alpha_1$	0.704	10.549	
L $\alpha_2$	---	10.448	
L $\beta_1$	0.717	12.611	
L $\beta_2$	---	12.620	
L $\gamma_1$	---	14.762	
K $\alpha_1$	6.403	74.957	
K $\alpha_2$	7.507	72.794	
K $\beta_1$	---	84.922	
K $\beta_2$	---	87.343	

ถ้าแต่ละขั้นงานถูกจ่ายด้วยอิเล็กตรอน ที่ 30 keV เส้น K และ L ทุกเส้นของ Fe จะถูก excite แต่ของ Pb เนื่องจาก M และ L จะถูก excite เส้น K จะไม่ถูก excite เพราะ binding energy ของ shell เหล่านี้มีอยู่มากกว่าขีดจำกัดของพลังงานของ SEM การ identify แต่ละธาตุจากการมี peak ที่ characteristic energy ในตารางข้างบน สังเกตว่าการแยกแยะของเครื่องวิเคราะห์ไม่สามารถแยกแยะ peak ที่อยู่ใกล้กันมาก เช่น Fe L $\alpha_1$  กับ L $\beta_1$  รวมกันเป็น peak เดียวที่ 0.711 keV ซึ่งเป็นค่าเฉลี่ยของทั้ง 2 peak

นอกเหนือจาก characteristic X-ray ขั้นงานที่จ่ายด้วยอิเล็กตรอนจะให้ noncharacteristic X-ray ด้วย พวก noncharacteristic X-ray นี้แสดงออกเป็น background ในสนาณอิเล็กตรอนของอะตอม รูปร่างของ background เป็นเส้น curve ที่ไม่สมมาตร คือสูงสุดที่พลังงานต่ำ (ประมาณ 1–2.5 keV) และค่อยๆ ลดลงมาที่พลังงานสูงกว่า ความเข้มของมัน จึงมีอิทธิพลสูงที่ X-ray พลังงานต่ำ เรื่องนี้เป็นจริงกับขั้นงานที่มี Z ต่ำและ Z สูง เมื่อจาก peak ที่พลังงานต่ำอยู่บนยอดที่ระดับความเข้มของ background ที่มีอยู่ก่อนแล้ว จึงอาจปรากฏว่ามีความเข้มสูง ในการวิเคราะห์เชิงปริมาณจะพบ

background ออกจาก peak และวิเคราะห์ความเข้มที่แท้จริงของมัน ปกติมักจะต้องกด background ไว้และปรับสัญญาณ characteristic X-ray

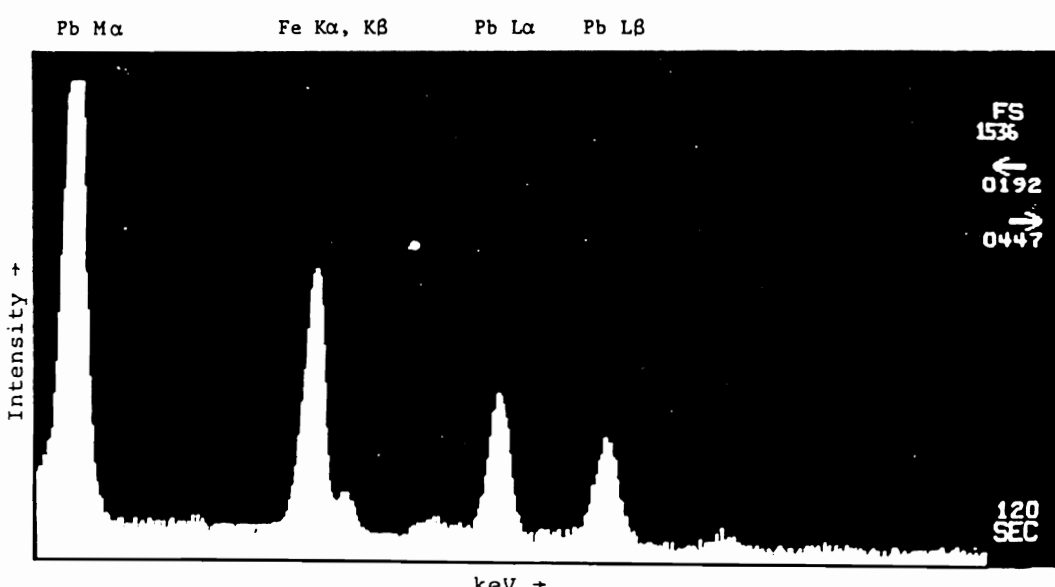
### Absorption Effect

การปล่อย X-ray ออกมานั้นได้รับอิทธิพลจาก atomic number (Z) ของชิ้นงาน และจาก self-absorption ของ X-ray ทั้งโดยอะตอมที่ปล่อยมันออกมากหรือโดยอะตอมอื่นซึ่งถูก excite ด้วยปฏิกิริยา กับ X-ray ที่ถูกปล่อยออกมากเพื่อสร้าง X-ray fluorescence ปัจจัยเหล่านี้สัมพันธ์กับปริมาตรการ excite X-ray กำเนิดจากที่ไหนก็ได้ในปริมาตรการ excite ได้สัญญาณ X-ray เป็นกลุ่มก้อน (bulk) ซึ่งเกิดจากบริเวณที่ห่างจากผิวชิ้นงานเป็นระยะทางไกล simulate วิถีโคจรของ primary beam electron และวิถีโคจร+จุดกำเนิดของ X-ray ที่ถูกปล่อยออกมายield ด้วยการคำนวณ Monte Carlo รูปที่ 5 แสดงตัวแทนของ Monte Carlo ของอิทธิพลของน้ำหนักอะตอม Acc V และการอิ่ยงต่อวิถีโคจรของอิเล็กตรอน primary beam และ secondary X-ray ภายในชิ้นงาน การพล็อตนี้ยืนยันว่า

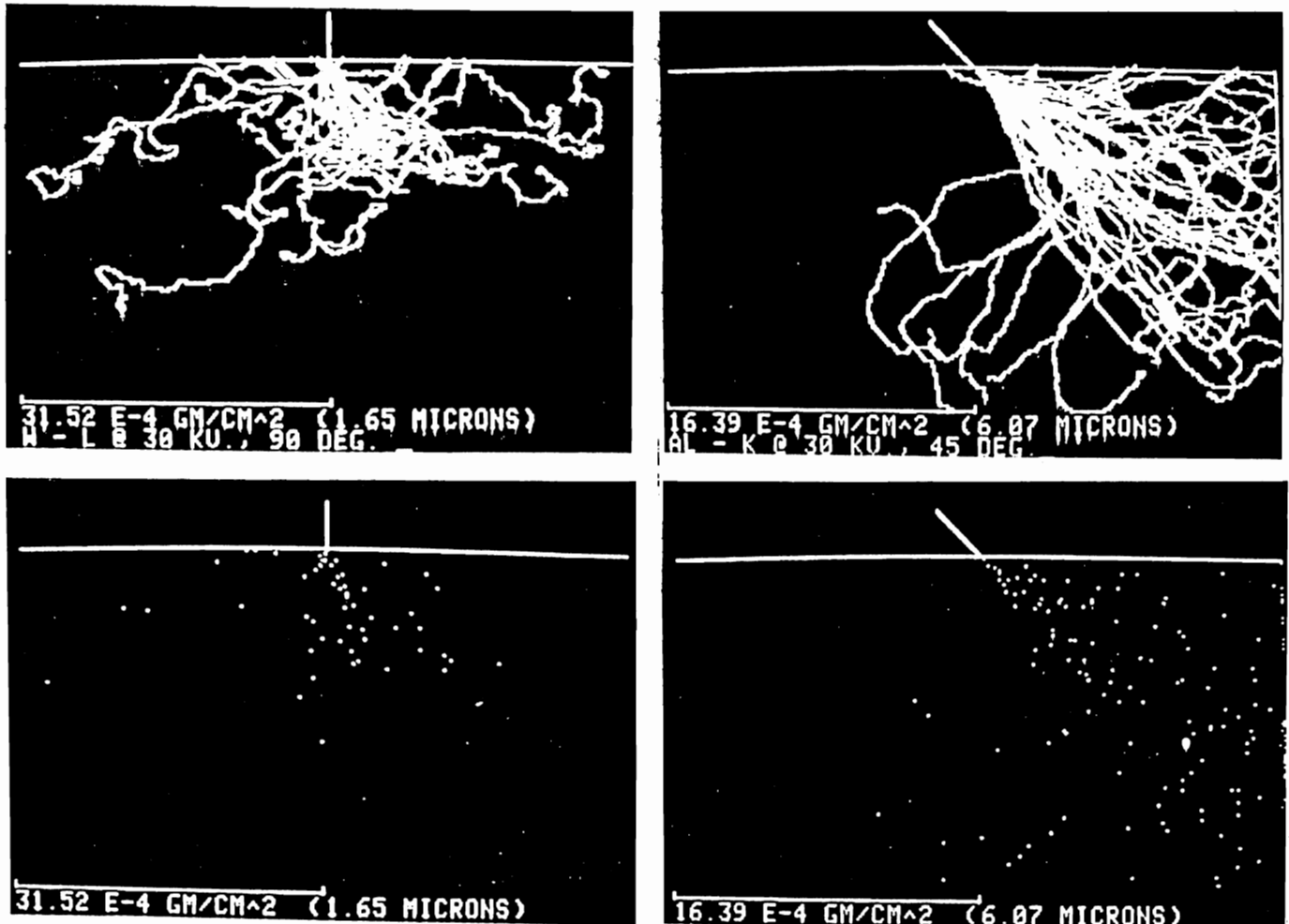
1. ปริมาตรการ excite ในชิ้นงานที่มี Z ต่ำมากกว่าในชิ้นงานที่มี Z สูง
2. เมื่อ Acc V เพิ่มขึ้น ทั้งความลึกของการแทรกซึมและขนาดของปริมาตรการ excite เพิ่มขึ้นและ
3. นุ่มนวลของการตัดกระแทบ กำหนดตำแหน่งสัมพันธ์ของปริมาตรการ excite มากกว่าผิวชิ้นงานมาก (กล่าวคือ การอิ่ยงชิ้นงานไม่เปลี่ยนตำแหน่งสัมพันธ์ของปริมาตรการ excite แต่ส่งเสริมการนับทางสถิติ)

อิทธิพลของการดูดซับบนพื้นฐาน ของระดับพลังงานของ X-ray สำหรับเนื้อพื้นของชิ้นงานที่กำหนดคือ เมื่อระดับพลังงานเพิ่มขึ้น การดูดซับลดลง เมื่อแรงดันลดลง การดูดซับเพิ่มขึ้นจนเป็น peak ที่ K absorption edge(Kab) ที่พลังงาน Kab นี้ X-ray มีพลังงานพอที่จะ ionize อะตอมอื่นๆ ที่ต่ำกว่า Kab พลังงานของ X-ray อยู่ต่ำกว่า binding energy ของอิเล็กตรอน และการดูดซับลดลงอีกรึ การดูดซับมีอิทธิพลต่อ EDS มากในเทอมของ fluorescent yield ซึ่งถูกจำกัดความว่าเป็นจำนวน X-ray ซึ่งหนีจากชิ้นงานและ X-ray fluorescence ที่ถูกจำกัดความว่า การปล่อยออกมายield ที่เกิดจากการ excite พวก X-ray พลังงานต่ำจาก X-ray ที่มีพลังงานสูงกว่า

fluorescent yield ( $\omega$ ) คือปฏิกิริยาที่ก่อให้เกิดการปล่อย X-ray ออกจากชิ้นงาน เมื่อ X-ray ถูกดูดซับอีกรึ โดยอะตอม อะตอมจะปล่อย auger electron ที่มีพลังงานเฉพาะออกจาก shell ชั้นนอกจำนวน auger electron และ X-ray ที่ถูกปล่อยออกมายield ด้วย atomic number คือ  $\omega$  เพิ่มขึ้นตาม Z และสำหรับธาตุที่กำหนด fluorescent คือ  $K > L > M$  ขณะที่ yield ของ auger electron เพิ่มขึ้นตามการลดลงของ atomic number (รูปที่ 6) ความสัมพันธ์ส่วนกลับระหว่างปริมาณของ X-ray ที่ปล่อยออกมายield auger electron นอกจากนี้ auger electron มีประโยชน์มากกับการวิเคราะห์ธาตุที่มีน้ำหนักอะตอมต่ำมาก ขณะที่ EDS เหมาะสมสำหรับธาตุที่หนักกว่า (และรวมทั้ง) Na

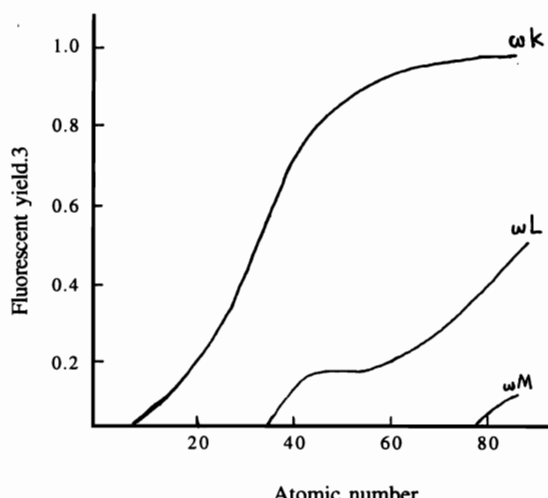


รูปที่ 4 The characteristic spectra of lead and iron.



รูปที่ 5 Monte Carlo projections of the trajectory of incident electrons (top) and emitted X-rays (bottom). Left, the projections for tungsten; right, aluminum. Note the effect of specimen tilt on the location of the excitation volume.

X-ray บางอันจะถูกดูดซึ้งด้วยอะตอมอื่นๆ ในขั้นตอนเพริ่ง X-ray กำเนิดจากภายในชั้นงานที่ลึกมาก self-absorption นี้ก่อให้เกิด secondary emission (หรือ X-ray fluorescence) ที่ถูกจำกัดความว่าเป็นการ excite ของ shell ที่พลังงานต่ำกว่าจาก X-ray ที่พลังงานกว่า นี้ทำให้เกิดการเสริม peak ที่พลังงานต่ำกว่า peak ที่พลังงานสูงกว่า ตัวอย่าง เช่นถ้าเคราะห์โลหะผสม Fe-Ni เส้น Ni K $\alpha$  (K $\alpha$ 1 7.477 keV, K $\alpha$ 2 7.460 keV) และเส้น Ni K $\beta$  (K $\beta$ 1 8.264, K $\beta$ 2 8.328 keV) ช่วยเสริมความเข้มของเส้น Fe ถ้า X-ray ของ Ni ที่มีพลังงานสูงกระแทกอะตอมของ Fe และ binding energy ของอิเล็กตรอนของ Fe K-shell มีน้อยกว่าอะตอมของ Fe ปล่อยอิเล็กตรอนและระหว่างการกลับคืนสู่ ground potential จะปล่อย X-ray ของ K ออกมานะ ปรากฏการณ์ absorption-fluorescence นี้ต้องได้รับแก้ไขให้ถูกต้องเมื่อวิเคราะห์เชิงปริมาณ นิการพัฒนาโปรแกรมของการปรับแก้ การปรับแก้ ZAF โดย  $Z = \text{atomic number}$ ,  $A = \text{absorption}$  และ  $F = \text{fluorescence}$  คือชื่อของการปรับแก้ที่



รูปที่ 6 The fluorescent yield as a function of atomic number. (Courtesy of Dr. Nicholas Barbi and PGT)

โดยสรุปการดูดซับ 2 ชนิด มีอิทธิพลกับ fluorescent yield (การปล่อยออกมา) ของ X-ray

(1) self-absorption ของ X-ray โดยอะตอมที่ให้ auger electron เกิดขึ้นกว้างขวางที่สุดกับวัสดุที่มี Z สูง

(2) absorption ของ X-ray โดยอะตอมที่ไม่ใช้อะตอมที่ปล่อย X-ray สามารถทำให้เกิด secondary emission ของ X-ray ที่มีพลังงานต่ำกว่า ซึ่งเป็นการเสริม หรือลดความเข้มของ peak สิ่งเหล่านี้สำคัญเมื่อขึ้นงานมีธาตุหลายธาตุ แต่ไม่ค่อยสำคัญเมื่อวิเคราะห์ธาตุบิสุทธิ์และทั้ง 2 สิ่งต้องผ่านการปรับแก้ในการวิเคราะห์เชิงปริมาณ

### การตรวจจับ

#### เครื่องมือ

หัวใจของเครื่องวิเคราะห์ EDS คือ Li-drifted Si diode (สารกึ่งตัวนำหรือ solid-state detector) ซึ่งตรวจจับ X-ray ด้านหน้าของ diode คลุมด้วยฟิล์มนางของทอง ส่วนด้านหลังของ diode มี Be window บางมาก (หนา ~ 7.5 ไมครอน) ซึ่งป้องกันผลึก Si(Li) จากความเสียหายทางกล ด้าน window มี atomic number ต่ำพอ (4) จะให้ X-ray ผ่านได้เกือบกึ่งหมดยกเว้นพวกที่มีพลังงานต่ำ เครื่องตรวจจับที่เป็น windowless ก็มีใช้สำหรับตรวจจับธาตุเบา

pulse pile-up เป็น dead time ชนิดหนึ่ง เป็นความน่าจะเป็นที่ X-ray 2 หรือมากกว่าจะเข้าไปในเครื่องตรวจจับเกือบจะพร้อมกันก่อให้เกิดการซ้อน (overlap) ของทั้ง 2 สัญญาณเหตุการณ์นี้แสดงออกเป็นความบิดเบี้ยวจากความสมมาตรของ peak หรือเกิดการรวม peak กันซึ่งโดยเป็นพลังงานรวมของ 2 peak เครื่องวิเคราะห์ส่วนใหญ่สามารถกำจัด pulse pile-up และผู้วิเคราะห์สามารถลดความน่าจะเป็นของเหตุการณ์นี้โดย

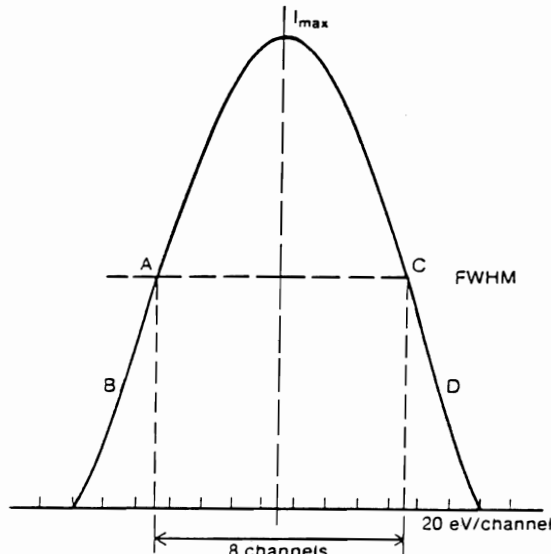
ให้ปั๊ค rate ปานกลาง

Data acquisition เป็นเหตุการณ์ตามเวลาจริง (real-time event) และเมื่อแต่ละ pulse เข้ามายังแยกแยกตามระดับพลังงาน และเข้ามายังช่องซึ่งสัมพันธ์กับพลังงานนั้น แกนนอกของการแสดงスペคตรัมเป็นสเกลของช่องหรือพลังงาน (keV) และแกนด้านเป็น count จำนวน count ที่แต่ละระดับพลังงานเป็นสัดส่วนกับส่วนผสมของชิ้นงาน จำนวน count ที่สำคัญถูกสะสมเพื่อความละเอียดแม่นยำทางสถิติ identify peak หลักโดยทำความสัมพันธ์ของพลังงานของมันกับตาราง characteristic energy แล้ว identify peak รอง เก็บข้อมูลสำหรับวิเคราะห์เชิงปริมาณ

#### Spectrometer resolution

Spectrometer resolution เป็นพังค์ชั่นของจำนวนช่องที่ peak หนึ่งครอบคลุม (ความกว้างของ peak) ในหนึ่งスペคตรัม resolution ของเครื่องวิเคราะห์แสดงออกเป็น Full Width at Half Maximum(FWHM) กฎที่ 7

เครื่องวิเคราะห์สามารถให้ FWHM ประมาณ 140 eV กล่าวคือ สามารถแยกเป็น 2 peak ด้วยขนาดต่ำสุด 140 eV 2 peak ที่มีความแตกต่างของพลังงานน้อยกว่า 140 eV จะฟอร์มเป็น peak เดียว ซึ่งพลังงานของมันเป็นค่าเฉลี่ยของพลังงานทั้ง 2 peak ด้วยเหตุผลนี้เครื่องวิเคราะห์ทั่วไปจะรวมเส้น  $\text{La}_1$  กับ  $\text{La}_2$  เป็น peak เดียวของ  $\text{L}\alpha$  และ เช่นเดียวกัน  $\text{K}\alpha_1$  กับ  $\text{K}\alpha_2$  ก็อาจรวมเป็น peak เดียว เช่น Fe มี  $\text{K}\alpha_1$  6.403 keV และ  $\text{K}\alpha_2$  6.390 keV รวมเป็น peak  $\text{K}\alpha$  ที่ 6.40 keV



#### กฎที่ 7 The full width at half maximum (FWHM)

การซ้อนกันของ peak (peak overlap) มีผลต่อทั้งการวิเคราะห์เชิงคุณภาพและเชิงปริมาณ Characteristic X-ray ของธาตุบางธาตุซ้อนกันและเป็นปั๊ค率ใหญ่ ถ้าบริเวณที่สนใจของスペคตรัมมี peak ที่อยู่ใกล้กันหลายอัน เช่นพิจารณาการวิเคราะห์ super alloy ที่มี Co เป็นธาตุหลัก ชื่อ Haynes 25 (กฎที่ 8) ซึ่งมีส่วนผสมและ peak ของ X-ray ดังนี้

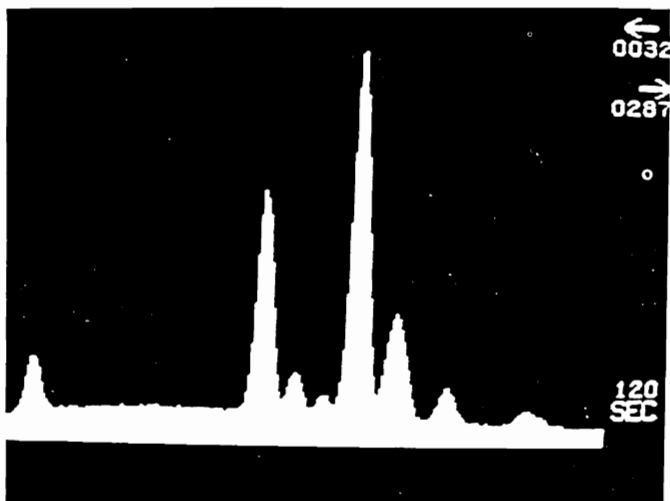
### peak ที่สำคัญ, KeV

ธาตุ,%	M	L $\alpha$	L $\beta$	K $\alpha$	K $\beta$
Cr, 20.13	---	---	---	5.4	5.9
Mn, 1.34	---	---	---	5.9	6.5
Fe, 2.18	---	---	---	6.4	7.06
Co, 51.31	---	---	---	6.9	7.7
Ni, 9.95	---	---	---	7.5	8.3
W, 14.75	1.8	8.4	9.8	---	---

ในสภาพเช่นนี้ K $\alpha$  ของ Mn จะถูกซ่อนโดย peak ของ Cr K $\beta$  และ K $\beta$  ของ Mn ถูกซ่อนโดย peak ของ Fe K $\alpha$  ในการวิเคราะห์เชิงคุณภาพ ต้องเปรียบเทียบความสูงของ peak และหาว่ามี Mn อยู่ จากอัตราส่วนที่แน่นอนของ K $\alpha$  ต่อ K $\beta$  แต่ถ้าปริมาณ Mn มีน้อยมาก ก็ไม่สามารถวิเคราะห์ได้ ให้สังเกตว่าในสเปกตรัมนี้ Co, Ni, W ก็มี peak ที่ซ่อนกันอยู่ แต่อาจ identify ได้จาก characteristic X-ray อื่น และโดยเทียบความสูงสัมพัทธ์ของ peak อื่นๆ แต่ถ้าเป็นขั้นงานไม่ว่าจะไร้เลย นักวิเคราะห์ควรระดับรังสีว่าอยู่ในโลหะสมโคนดล์แบบไหน แต่ไม่สามารถระบุชัดว่าเป็น Haynes 25 ออกจากวิเคราะห์เชิงปริมาณด้วยวิธีวิเคราะห์ อื่นๆ ด้วย (เช่น atomic absorption)

เครื่อง EDS มีประสิทธิภาพที่สุดกับการวิเคราะห์ X-ray ที่มีพลังงานระหว่าง ~ 0.7 keV กับ 15.0 keV resolution ของเครื่องที่ต่ำกว่า ~ 0.7 keV แยกจากการคูดชั้บของ X-ray ใน Be window วิเคราะห์ธาตุที่มี atomic number ต่ำกว่า Na(11) ไม่ได้ peak ของ Na K $\alpha$  อยู่ที่ 1.041 keV ระหว่าง ~ 0.8 กับ 1.0 keV จะเห็นเส้น L ของธาตุที่มีน้ำหนักปานกลาง (เช่น Fe, Cu, Zn) เครื่องตรวจจับแบบ windowless จะจัดการคูดชั้บโดย Be จึงสามารถให้ peak ที่พลังงานต่ำมากจาก C (atomic number, K $\alpha$  0.282 keV) ถึง Al (atomic number 13, K $\alpha$  1.48 keV)

เกินจาก 15 keV resolution ของเครื่องจะลดลง เพราะ X-ray มีพลังงานพอที่จะผ่านเครื่องตรวจจับ Si(Li) อย่างสมบูรณ์ ให้จำไว้ว่าเส้นที่มีพลังงานสูงทั้งหลายนี้จะไม่ถูก excite เพราะ Acc V ของ SEM ต่ำกว่า binding energy ของ shell อิเล็กตรอนเหล่านี้จะไม่ทำการวิเคราะห์ช่วงพลังงานที่สูงกว่านี้ เพราะเป็นขีดจำกัดของ EDS ธาตุจำนวนมากในตารางพื้นดินจะให้อายุน้อยที่สุด 1X-ray ที่วิเคราะห์ได้ในช่วงระหว่าง 0.8 กับ 15 keV ซึ่งเป็นช่วงกว้างมากของขั้นงานชนิดต่างๆ แต่มักจะจำกัดการศึกษาสารประกอบอินทรีย์



รูปที่ 8 Characteristic X-ray spectrum of Haynes-25.

### การวิเคราะห์เชิงคุณภาพ

การวิเคราะห์ นอกจากถูกควบคุมด้วยประสิทธิภาพ และ resolution ของสเปกตรัมแล้ว ยังถูกควบคุมด้วย พารามิเตอร์การทำงานของ SEM ซึ่งจะกล่าวต่อไปนี้อีกด้วย

#### Spatial resolution

Spatial resolution ของการวิเคราะห์ EDS หมายถึงขนาดสัดส่วนด้านข้างของปริมาตรที่เป็นแหล่ง X-ray อย่า สับสนระหว่าง Spatial resolution กับ resolution ของ สเปกตรัมซึ่งเป็นพารามิเตอร์เฉพาะที่บอกถึง resolution ของ เครื่องวิเคราะห์ ความลึกของข่าวสารครอบคลุมปริมาตรได้ผ่าน ขั้นงานมากและกลุ่มก้อน (bulk) ของ X-ray กำเนิดจากโซน ที่ลึกและกว้างของปริมาตรการ excite ความกว้างของปริมาตร การ excite ของ X-ray เที่ยวนเท่า Spatial resolution กล่าวคือ การกระจายด้านข้างของลำอิเล็กตรอน ทำให้ Spatial resolution ของ X-ray แย่กว่าของภาพ SEM (~60 Å)

มาก

แม้ว่าจะละเอียด Spatial resolution เมื่อศึกษาส่วน ผสมรวมของขั้นงาน แต่จะสำคัญเมื่อวิเคราะห์เพียงบางแห่งของ ขั้นงาน เช่น inclusion เลือกบริเวณที่ต้องการดูบนจอ (ให้จุด (dot) ของลำอิเล็กตรอนอยู่บนตำแหน่งที่ต้องการ) และ วิเคราะห์ทางสเปกตรัมมา แม้ว่าการวิเคราะห์เป็นกลุ่มก้อน ที่ กำลังขยายตัว แต่เมื่อย้ายภาพโดยขึ้นเพื่อแยกและโครงสร้าง ละเอียด ปริมาตรการ excite จะเปลี่ยนไป แต่จะยังคงกำเนิด จากใต้ผิวขั้นงานเป็นหลัก ในขั้นงานที่มี inclusion ขยายภาพ

จนได้ภาพที่ต้องการแต่เป็นผิดพลาดโดยสิ้นเชิงที่จะสันนิษฐานว่า สเปคตรัมที่ได้บอกระบุส่วนผสมของ inclusion ถ้าความลึกของการแทรกซึมของอิเล็กตรอนจาก primary beam มากกว่าความลึกของ inclusion คำอิเล็กตรอนจะผ่านทะลุ inclusion และ excite เนื้อพื้นที่อยู่ข้างล่างซึ่งให้สัญญาณ X-ray ด้วย ดังนั้นจึงต้องการภาพ BSE ซึ่งอยู่ใกล้กับปริมาตรของ X-ray มากกว่า และบนพื้นฐานอันนี้จะเลือกสีอ้อที่ลดความลึกการแทรกซึมของอิเล็กตรอน primary beam \*ด้วยเหตุนี้ พวกร่วมหรือเม็ดจิงติดอยู่บนเทปควรบูรณาการกับ stub อะลูมิเนียม เพื่อระบายอุณหภูมิของ excite และให้ X-ray ออกมายังขณะที่คาร์บอนอยู่เกินขีดจำกัดของ Be window

\*ถ้าเพียงต้องการการวิเคราะห์เชิงคุณภาพอย่างหยาบๆ ควรวิเคราะห์กุ่มก้อน (bulk) และให้เปรียบเทียบสเปคตรัมนั้นกับสเปคตรัมของ inclusion ถ้า inclusion มี Si เป็นหลัก ความสูงของ peak ของ Si จะแตกต่างกันมาก ถ้าพารามิเตอร์การทำงานอื่นๆ เมื่ອอกันหมด]

อาจปรับปรุง spatial resolution ของ X-ray โดยการวิเคราะห์ส่วนที่บางๆ มากกว่าเป็นกุ่มก้อนและโดยการลด Acc V กับ spot size ในส่วนที่บางๆ การกระจายด้านข้างของคำอิเล็กตรอนลดลงต่ำสุด เพื่อระดับส่วนของชิ้นงานเล็ก การลด Acc V ได้ผลดี ถ้ายังคงอยู่เท่านั้น critical excitation-edge energy ให้ทำการวิเคราะห์ที่ Acc V 2 อันเพื่อให้เกินพลังงานที่น้อยที่สุด การลด spot size ก็ได้ผลดีแต่เฉพาะจุดที่ความลึกการแทรกซึมถูกกำหนดด้วย Acc V เท่านั้น การลด Acc V หรือ spot size เป็นวิธีเดียวในการปรับปรุง spatial resolution การวิเคราะห์ส่วนบางๆ เป็นเทคนิคที่ได้ผลที่สุด แต่เตรียมลักษณะนี้กับชิ้นงานทุกชิ้นไม่ได้ ดังนั้นผู้วิเคราะห์ควรทดสอบเงื่อนไขการทำงานต่างๆ ก่อนสรุปเกี่ยวกับชิ้นงานที่ไม่รู้อะไรเลย (unknown)

spot size และ Acc V ก็มีอิทธิพลโดยตรงต่ออัตราการนับ X-ray (count rate) เมื่อ Acc V ต่ำเกินไป characteristic X-ray จะไม่ปล่อยออกมา เมื่อแรงดันสูงเกินไปจะเกิดผลตามที่กล่าวไปแล้ว spot ที่ใหญ่กว่าเพิ่ม count rate และกลับกันคือที่เล็กกว่าลด count rate spot size ที่ใหญ่เกินไปลด resolution โดยเพิ่มระดับ noise ในสเปคตรัม ดังนั้นสำหรับชิ้นงานหนึ่ง ผู้วิเคราะห์ควรปรับ spot size จนได้ count ที่ต่ำสุด ที่ได้ผลอาจเพิ่มขึ้นได้โดยใช้รูเปิดที่ใหญ่ ปกติการวิเคราะห์ EDS ใช้รูเปิดขนาดเส้นผ่าศูนย์กลาง 150–200 ไมครอน

ถ้า Acc V และ/หรือ spot size ไม่ได้ผลที่สุด (optimum) สำหรับชิ้นงานหนึ่ง อาจพบ peak 2 ชนิดคือ sum peak ถ้า count rate สูงเกินไป กับ escape peak เมื่อ Acc V ต่ำเกินไป sum peak เกิดขึ้นเมื่อ 2 X-ray เข้ามา

ในเครื่องตรวจบอร์ดกัน และพลังงานรวมกันฟอร์มเป็น peak เดียวที่ค่าบวกกัน เช่น peak K $\alpha$  ของอะลูมิเนียมอยู่ที่ 1.487 keV sum peak ของ Al อยู่ที่ประมาณ  $2(1.487) = 2.974$  keV หรือต่ำกว่าเล็กน้อยเป็น sum peak ที่ count rate สูง ผิดปกติ อาจซ้ำซ้อนกับ sum peak โดยการลด spot size และ/หรือ Acc V อาจเห็น escape peak เมื่อวิเคราะห์ธาตุที่หนักกว่า S (atomic number 16) characteristic X-ray ที่ปล่อยออกมาโดย S และธาตุที่หนักกว่ามีพลังงานพอที่จะ excite เส้น SiK $\alpha$  (1.74 keV) ในเครื่องตรวจจับ Si(Li) escape peak แสดงเป็น peak น้อยกว่า 1.74 keV จากเส้นปกติ เช่น escape peak จากการ excite ของ Fe K $\alpha$  อาจเกิดที่  $6.403 - 1.74 = 4.663$  keV escape peak นักจะมีความเข้มน้อยกว่า peak ที่ก่อการ excite หลักเลี้ยง escape peak โดยเพิ่ม Acc V

โดยสรุป ผู้วิเคราะห์ควรเปลี่ยนเงื่อนไขการใช้งานต่างๆ กับชิ้นงานหนึ่งๆ การประเมินอิทธิพลของเงื่อนไขต่างๆ ไม่ต้องใช้เวลามากและเลือกชุดที่ได้ผลที่สุดได้เร็ว ผู้วิเคราะห์ไม่ควรจะเลือก Acc V สูงสุดอย่างง่ายๆ ใช้แรงดันสูงกับการวิเคราะห์พวกรากหัวนักจะลดลงสูง (เช่น Pb) ใช้แรงดันต่ำกว่ากับพวกรากหัวนักจะลดลงต่ำ (เช่น โลหะอะลูมิเนียมผสม)

## การพิจารณาทางเรขาคณิต

เรขาคณิตของคำอิเล็กตรอน-ชิ้นงาน-เครื่องตรวจจับก็มีอิทธิพลกับการวิเคราะห์ จากการที่ X-ray มีพลังงานค่อนข้างต่ำ ก็จะให้ชิ้นงานอยู่ใกล้กับเครื่องตรวจจับ เครื่องตรวจจับ X-ray ส่วนใหญ่ติดตั้งอยู่กับตัว support ที่เคลื่อนที่ได้ทำให้ปรับเข้าใกล้ชิ้นงานได้ นอกจากนี้ควรปรับ WD ด้วยการควบคุมแกน Z จนระยะของชิ้นงานกับเครื่องตรวจจับสั้น เมื่อถูกลอยหัวชิ้นงานที่ให้ BSE มากให้สังเกตว่า BSE อาจกระแทบขอบเลนส์ตัวสุดท้ายจนได้ peak ของ Fe ออกมานะ BSE อาจมาจากภายในผิวของ chamber ชิ้นงาน และให้ X-ray ที่ไม่ได้กำเนิดจากชิ้นงาน เช่นเดียวกับการใช้พวกรากหัวนัก stub อะลูมิเนียมเพื่อลดความผิดพลาดของ peak ของ Al ในชิ้นงานที่มี Al อยู่ด้วยมุน (ความເອີຍ) ของชิ้นงานก็มีอิทธิพลต่อการวิเคราะห์ พารามิเตอร์สำคัญที่ควรจำไว้คือปริมาตรการ excite ที่เกิดระหว่างการฉายรังสีเป็นไปตามทางของรังสี ที่ตัดกระแทบ และไม่ขึ้นกับผิวชิ้นงาน กำหนดให้ชิ้นงานมีค่า Z ต่ำ รูปทรงของปริมาตรการ excite จะเป็นกึ่งวงกลมไม่สมมาตรเทียบกับผิวชิ้นงาน (ดูรูปที่ 9) พารามิเตอร์สำคัญมากเมื่อวิเคราะห์ปริมาตรเร็ก้า (microvolume) เช่นเมื่อ identify พวกรากหัว inclusion ภายในรูเร็ก้า (microvoid) ในชิ้นงานที่แตกแบบ dimple ควรให้มุนເອີຍต่างๆ เพื่อให้แน่ใจว่าสัญญาณ X-ray

## กำเนิดจาก inclusion ในไฮจัคโลหะพื้นรอบฯ มัน

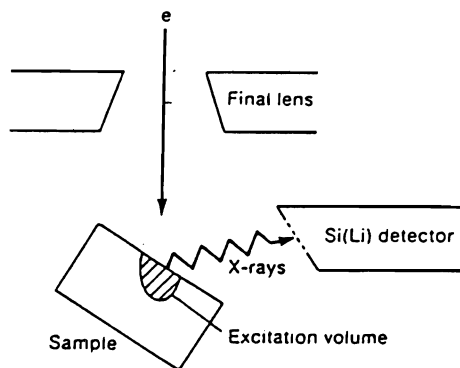
พารามิเตอร์ทางเรขาคณิตอีก 2 อันคือ solid angle กับ take-off angle ก็มีอิทธิพลต่อการวิเคราะห์ EDS solid angle ( $\Omega$ ) เป็นมุม 3 มิติของขั้นงาน ที่อยู่ตรงกันข้าม กับเครื่องตรวจจับ ส่วน take-off angle ( $\Psi$ ) คือมุมระหว่าง ผิวขั้นงานและแนวเส้นตรงไปทางใจกลางเครื่องตรวจจับ รูปที่ 10 identify มุมเหล่านี้เทียบกับขั้นงานและเครื่องตรวจจับ

เมื่อ X-ray ถูกปล่อยออกมากทุกทิศทางระหว่างการฉายรังสี มีเพียงส่วนน้อยที่ถูกตรวจจับได้จริงและส่วนน้อยนั้น ถูกกำหนดโดย solid angle นิภภพขั้นงานเป็นทรงกลม มีรัศมีเท่ากับระยะระหว่างขั้นงานและเครื่องตรวจจับ เครื่องตรวจจับครอบคลุมเพียงส่วนน้อยของทรงกลมนั้น คำอธิบายต่อในรูป กรณีกำเนิดจากขั้นงานเข้าไปในเครื่องตรวจจับ มุมของรายนั้นคือ solid angle ค่ามุมนี้มากทำให้ตรวจจับจำนวน X-ray ได้มาก และทำได้โดยใช้ WD น้อย take-off angle ถูกกำหนดเป็นมุมระหว่างผิวขั้นงานกับแนวเส้นตรงไปทางใจกลางของเครื่องตรวจจับ take-off angle สูง ทำให้รับจำนวน X-ray ที่หนีจากขั้นงานมาก ขณะที่มุมต่ำกว่าให้เกิดการดูดซับ X-ray จากขั้นงาน ดังนั้น take-off angle ควร  $> 30^\circ$  เพื่อให้ได้จำนวน X-ray ที่ออกจากขั้นงานสูงสุด

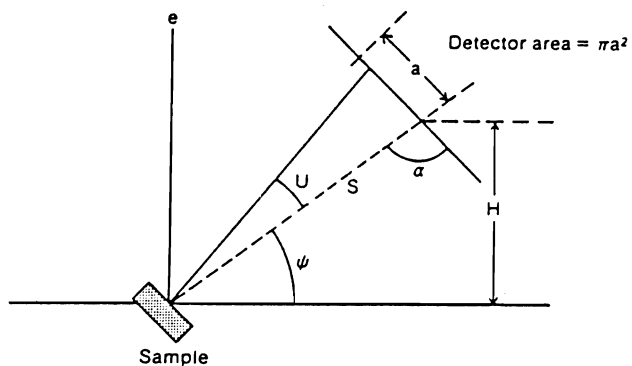
### Data display

ข้อมูล X-ray แสดงออกเป็นスペกตรัม การตรวจนับเส้นตรง(line scan) หรือ แผนที่ (X-ray map) แต่ละ peak จะถูก identify โดยวางตำแหน่งของ cursor ที่ใจกลาง peak เปรียบเทียบผลลัพธ์กับตารางผลลัพธ์ characteristic X-ray เลือกตัวที่ใกล้ที่สุดแล้วอ่านฐานที่เกี่ยวข้อง เมื่อ identify peak ที่ความเข้มสูงสุดแล้ว อ่าน peak ที่ต่ำกว่าจากตาราง เช่น ถ้า peak สูงอยู่ที่ 6.40 keV อ่านได้ว่าเป็น  $K\alpha$  ของ Fe ตารางจะบอกว่า peak ของ  $K\beta$  อยู่ที่ 7.05 keV ก็อาจ identify peak นี้บนスペกตรัมได้ แต่จะตรวจไม่พบ peak ของ  $K\beta$  ถ้าไม่มี peak ของ  $K\alpha$  ที่ความเข้มมากกว่าอยู่ด้วย peak ที่เหลือทั้งหมดก็ identify ได้ในลักษณะเดียวกัน

ถ้าระดับผลลัพธ์ของ peak ที่ได้เบี่ยงเบนมากกว่า 2-3 eV จากตารางมาตรฐาน หมายความว่าระบบไม่เข้าที่ดี (out of calibration) ควรเตรียมมาตรฐานการ calibrate อย่างง่ายๆ โดยใช้ Al ( $K\alpha$  1.49 keV) กับ Ta/Cu ( $K\alpha$  8.04 keV) บน stub เพราะระยะที่แตกต่างของ peak ทั้ง 2 นี้ calibrate ได้ เมื่อスペกตรัมใหม่มีกึ่งกลางของ peak ของ Al ที่ 1.49 keV และ peak ของ Cu ที่ 8.04 keV ควร calibrate เป็นประจำและปรับเมื่อจำเป็น



รูปที่ 9 The effect of specimen tilt on the location of the excitation volume.



$$U = \arctan a/s$$

$a$  = detector radius

$S$  = distance from sample to detector

$H$  = vertical distance from sample to center line of detector

$$\text{Solid angle } \Omega = 2\pi (1 - \cos \Psi) \sin a \approx \pi a^2 / S^2 \sin a$$

$$\text{Take-off angle } \Psi = \arcsin H/S$$

รูปที่ 10 Geometry of the take-off angle ( $\Psi$ ) and solid angle ( $\Omega$ ). (courtesy of Dr. Nicholas Barbi and PGT)

การกวาดเป็นเส้นตรง (line scan หรือ line profile) และ X-ray map เพื่อ monitoring การแสดงสเปคตรัมกับภาพ SEM โดยป้อนข้อมูล X-ray เข้าไปในกล้องจุลทรรศน์แบบกวาด แสดงความเข้มของ X-ray เช่นถ้าดูภาคตัดขวางของการเคลือบทลายชิ้น (แต่ละชิ้นประกอบด้วยธาตุที่ต่างกัน) ในโหมดของ line scan จะแสดงการกระจายของธาตุเป็นการหักเหในแนวตั้งของเส้นการกวาด (line scan) ให้แสดง line scan กั้นหนึ่ดพร้อมกันของแต่ละชิ้น / ธาตุ ได้ทำให้สามารถดูธาตุผสานระหว่างชิ้นเคลือบได้

X-ray หรือ dot map ก็สร้างขึ้นมาโดยป้อนข้อมูล X-ray ของธาตุที่ต้องการเข้าไปใน SEM แหล่ง X-ray จะแสดงออกเป็นกลุ่มของจุดที่สว่างมากตัดกับพื้นดำที่ซึ่งไม่มีธาตุนั้นอยู่ dot map มีประโยชน์อย่างมากในการแยกแยะ inclusion ที่มีส่วนผสมต่างกัน และ mapping บริเวณที่เกิดการกัดกร่อน

แนะนำว่าให้บันทึกภาพ SEM อย่างน้อย 1 ภาพและตำแหน่งที่วิเคราะห์ลงบนภาพ บันทึกกั้นภาพ SE และ BSE ได้ยังดีและความสัมพันธ์กับข้อมูล X-ray ด้วย เป็น package ที่สมบูรณ์กว่าการมีสเปคตรัมอย่างเดียว

## การวิเคราะห์เชิงปริมาณ

การวิเคราะห์เชิงปริมาณ เป็นไปได้ เพราะความเข้มของรังสีที่ปล่อยออกมาเป็นสัดส่วนตรงกับความเข้มข้นของธาตุนั้น การวิจัยงานมาตรฐานอ้างอิงกับข้อมูลส่วนผสมที่ละเอียดมาก สามารถ calibrate โปรแกรมเชิงปริมาณและหาความสัมพันธ์ระหว่างความเข้มที่เทียบกับความเข้มข้นที่รู้ ทางข้อมูล X-ray เชิงปริมาณกับชิ้นงาน แล้วเปรียบเทียบกับชิ้นงานมาตรฐานจนได้ค่าไอลเดียง อย่างไรก็ตามนักวิเคราะห์มักจะวิเคราะห์ปริมาณโดยไม่มีข้อกำหนดมาตรฐาน ในสภาพเช่นนี้ มีโปรแกรมที่เรียกว่า standardless แต่จะไม่ละเอียดแม่นยำเท่ากับใช้ชิ้นงานมาตรฐานอ้างอิง

นักวิเคราะห์ต้องเข้าใจว่า ผลของการวิเคราะห์เชิงปริมาณเพียงแต่เท่าข้อมูลเดียว ซึ่งมีสมมติฐานว่าได้เลือกเงื่อนไขการทำงานของ SEM และ EDS ที่ได้ผลที่สุด (optimum) เงื่อนไขเหล่านี้กำหนดให้มี count rate ดีที่สุด เป็นพังค์ชั่นของชนิดชิ้นงาน, น้ำหนักของตัวอย่าง, Acc V, spot size, การอ้างอิงชิ้นงาน, take-off angle, WD, กำลังขยาย และอื่นๆ ที่กล่าวมาข้างต้นเมื่อจะเปรียบเทียบชิ้นงานมาตรฐานกับชิ้นงานที่ไม่รู้จัก ควรให้เงื่อนไขการทำงานเหมือนกันหมด เพื่อลดอิทธิพลของธรรมชาติทางสถิติของ X-ray แนะนำให้ผู้วิเคราะห์หาชุดของเงื่อนไขการทำงานสำหรับชิ้นงานชนิดต่างๆ

ชนิดต่างๆ (เช่น ชิ้นงานขัดผิดเงา, พวก particle ฯลฯ) แม้ว่าเงื่อนไขเหล่านี้จะไม่สมบูรณ์สำหรับชิ้นงานทุกชนิด แต่จะนำทางให้ได้และไม่ต้องคำนวณใหม่ อย่างเช่น take-off angle สำหรับการวิเคราะห์ใหม่ทุกครั้งข้อมูลเดิมและที่วิเคราะห์มาควรเก็บไว้พร้อมพารามิเตอร์การทำงานด้วย

## การควบคุมสเปคตรัม

เมื่อได้สเปคตรัม characteristic peak จะสะสม count เช่นเดียวกับ พวกที่เป็น background ระดับของ noise อาจสูงจนกลบปิด peak ที่ดี เพื่อช่วยให้สเปคตรัมชัดขึ้น ให้ทำ smooth ซึ่งไม่ช่วยปรับปรุงข้อมูลเชิงปริมาณ แต่ปรับปรุงการตีความสเปคตรัมเชิงคุณภาพ การทำ smoothing หมายที่สุดสำหรับการ identify เส้น X-ray ที่อยู่ใกล้กันภายในช่วง 2-4 keV และการแสดงให้ใจกลาง peak ในเส้น 2 เส้นข้างกันให้เห็นชัด เช่น La ของ Ag (2.98 keV) กับ L $\beta$  (~3.2 keV) ปกติครอบคลุมช่องจำนวนมากกับ 2 peak ที่แตกต่างกันแต่ข้างกัน ผู้วิเคราะห์อาจ smooth สเปคตรัม และหัวใจกลาง peak ของ L $\alpha$  กับ L $\beta$  มีลักษณะเฉพาะตัวของมัน

วิธีอื่นอีกวิธีในการแยกแยะ peak ที่ข้างกันคือ spectrum stripping เช่น superalloy Haynes 25 ที่แสดงการข้อของธาตุหลายธาตุ ที่แรงที่สุดคือ Cr K $\beta$  กลุ่ม Mn K $\alpha$  และ Fe K $\alpha$  กลุ่ม Mn K $\beta$  เพื่อแยกแยะ Mn K $\alpha$  ลบสเปคตรัมมาตรฐานของ Cr บริสุทธิ์ จากสเปคตรัมของ Haynes 25 เพื่อเผยแพร่ Mn K $\alpha$  ออกมานั้น ถ้าต้องการก็เผยแพร่ Mn K $\beta$  โดยลบสเปคตรัมของ Fe บริสุทธิ์ออกได้ การลบออก (stripping) มีประโยชน์มากเมื่อเส้นเฉพาะตัวหลายเส้นถูกซ่อนด้วย peak ที่ความเข้มสูงกว่า และการลบออกให้ความละเอียดกว่า smoothing

จากการที่ peak ของ characteristic X-ray สร้าง background ที่ข้างขอน การหาความเข้มแท้จึงต้องลบ background ก่อนคำนวณข้อมูล ใน EDS การลบ background นี้กับการทำหนดความกว้างของ peak และความถี่ของการลบออก หลังจากลบ background ข้อมูลจะเป็นความเข้มซึ่งจะถูกวิเคราะห์และเปลี่ยนเป็นความเข้มข้นตามวิธีการปรับแก้เนื้อพื้นให้ถูกต้อง

## การปรับแก้เนื้อพื้น (matrix) ให้ถูกต้อง

การเปลี่ยนค่าความเข้มของ peak เป็นความเข้มข้นมีหลายวิธี ซึ่งล้วนแต่เป็นการคำนวณที่ยากในทางคณิตศาสตร์ ปกติมักจะคำนวณ K-แฟคเตอร์ ซึ่งเป็นอัตราส่วนของความ

เข้มของ X-ray ของตัวไม่รู้ค่ากับของตัวมาตรฐาน กับการปรับแก้การดูดซับ, fluorescence และ atomic number แก้ การซ้อนกันของ peak และการลบ background ก่อนคำนวณ ข้อมูลจริง ความสัมพันธ์ของแฟคเตอร์เหล่านี้คือ  $C = kZAF$  โดย  $k$  เป็นอัตราส่วนของความเข้ม,  $Z$  เป็น atomic number,  $A$  เป็น absorption และ  $F$  เป็น fluorescence โปรแกรมการปรับแก้เรียกว่า ZAF correction โดยพื้นฐานเปลี่ยนข้อมูลดิบ ของスペคตรัมเป็นความเข้มแท้ของเนื้อพื้น โดยใช้หรือไม่ใช้ มาตรฐานอ้างอิง

## การเตรียมชิ้นงาน

Metallographic mount ชิ้นงานขัดเงาเป็นชิ้นงานที่ดีที่สุด และได้ความละเอียดแม่นยำที่สุดในการวิเคราะห์เชิงปริมาณ แม้ว่า metalgraphy มากจะใช้เฉพาะกับโลหะ แต่พลาสติก เชรามิก และชิ้นงานชนิดต่างๆ อาจเตรียมด้วยวิธีเดียวกันได้

ควรขัดละเอียดกับชิ้นงานจนเป็นเงา การขัดครั้งสุดท้ายควรใช้ผงเพชรนาภากว่าอะลูมิเนียม เพื่อหลีกเลี่ยง contamination ควรล้างชิ้นงานขัดเงาในน้ำกลั่นตามด้วยการทำความสะอาดด้วยสารละลายอินทรีย์ในอ่าง ultrasonic cleaning นำชิ้นงานวางบนแท่นวางชิ้นงานของเครื่อง SEM เนื่องจากตัวกลางที่ยึดชิ้นงานนำไฟฟ้าไม่ดี จึงทำชิ้นงานกับตัวจับชิ้นงานด้วยสิ่งที่นำไฟฟ้าหรือเทปโลหะ ระวังอย่าให้มีสเปคตรัมของพวกนี้ออกมากด้วย อย่าใช้สิ่งที่มีส่วนผสมเหมือนกับของชิ้นงานถ้ามี peak ออกมากด้วยให้วิเคราะห์บริเวณอื่น

เมื่อดูของชิ้นงาน เป็นการยกที่จะเดี่ยงการ excite ตัวกลางยึดชิ้นงาน อาจลบสเปคตรัมของตัวกลางออกจากสเปคตรัมของชิ้นงาน อีกข้อหนึ่งคือวางแผนให้ผิวที่สนใจชานกับแกนนอน ถ้าชิ้นงานไม่นำไฟฟ้า อาจเกิด charging อย่างแรงทั้งกับ SEM และ EDS อาจลด charging ให้น้อยที่สุดโดยการให้ถูกต้องเป็นไปตามการเป็นพิล์มน้ำของคาร์บอน ตลอดผิวชิ้นงาน ควรบอนนำไฟฟ้าได้ดีปานกลางและมีน้ำหนักอะตอมต่ำ characteristic X-ray จะผ่านพิล์มcarbonโดยไม่สูญเสียพลังงานอย่างเดียบด้วยพิล์มโลหะเมื่อวิเคราะห์ EDS เพราะพิล์มโลหะดูดซับ X-ray ที่มีพลังงานต่ำ จะลดความเข้มของ characteristic peak และยังให้เส้น characteristic ของตัวเองออกมากด้วย

พวกผิวเคราะห์เชิงคุณภาพของผงที่เป็นเนื้อเดียว หลวงๆ โดยติดอยู่บนคาร์บอน การวิเคราะห์เชิงปริมาณจะอัดผงให้แน่น ผงที่อัดแล้วต้องเป็นเนื้อเดียวสม่ำเสมอและผิวเรียบ ใช้ผงอัดมากกว่า particle มากๆ กับเพร率คำนวณ take-off angle ของ X-ray ได้แน่นอน

particle การซ้อนกันของ particle อาจก่อให้เกิด secondary fluorescent ที่ไม่ควรวิเคราะห์เฉพาะแต่ละ particle อาจเคลือบคาร์บอนได้

ชิ้นงานหยาบ กรณีที่วิเคราะห์เชิงปริมาณกับผิวหยาบ (เช่น ผิวน้ำที่แตกหัก fracture surface) ผิวเคราะห์ควรบอกผลที่มีความมั่นใจอย่างกว่าปกติ เพราะไม่รู้ Take-off angle กับภาพที่เห็น ควรจะเปลี่ยนมุมอุปทานและ Acc V แล้วประเมินค่าข้อมูล 2 ชุด ผิวชิ้นงานต้องสะอาดปราศจากการปนเปื้อน ซึ่งอาจเป็นไฮดร์คาร์บอนและฝุ่น

## Wavelength Dispersive Spectrometer (WDS)

โครงสร้างอะตอมของผลึกมีการเรียงตัวกันอย่างเป็นระเบียบ แต่ขนาดของอะตอมมีขนาดเล็กคละอีกดอกันไม่สามารถมองเห็นด้วยกล้องจุลทรรศน์ จึงทำให้มีการศึกษาโครงสร้างอะตอมโดยอาศัยการหักเห (diffraction) ของรังสีเอ็กซ์ที่เป็นไปตามกฎของ Bragg (Bragg's law) ที่กล่าวไว้ว่าพื้นผิว (plane) ของอะตอมภายในผลึกทำตัวคล้ายกับกระจำสะท้อนรังสีเอ็กซ์ โดยทำให้รังสีเอ็กซ์บางส่วนที่ตกกระทบบนพื้นผิวนี้ ของผลึกสะท้อนออกมามีนูนที่รังสีเอ็กซ์ตกรอบกับพื้นผิวนั้น ดังรูปที่ 11 ส่วนรังสีเอ็กซ์ส่วนนี้ อาจจะทะลุผ่านผลึกหรือถูกดูดกลืนหรือจะจัดกระเจยตัวไป

การหักเหของรังสีเอ็กซ์เป็นไปตามสูตร

$$n\lambda = 2d \sin \theta \quad (1)$$

โดยที่ค่า

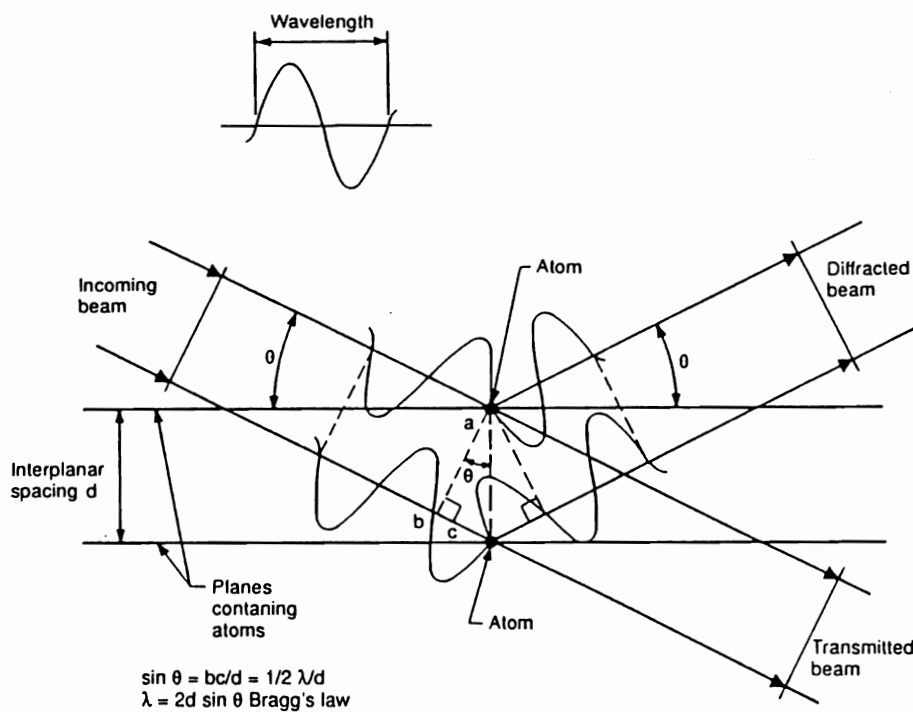
$n$  = ตัวเลขจำนวนเต็ม

$d$  = ระยะห่างระหว่างพื้นผิว

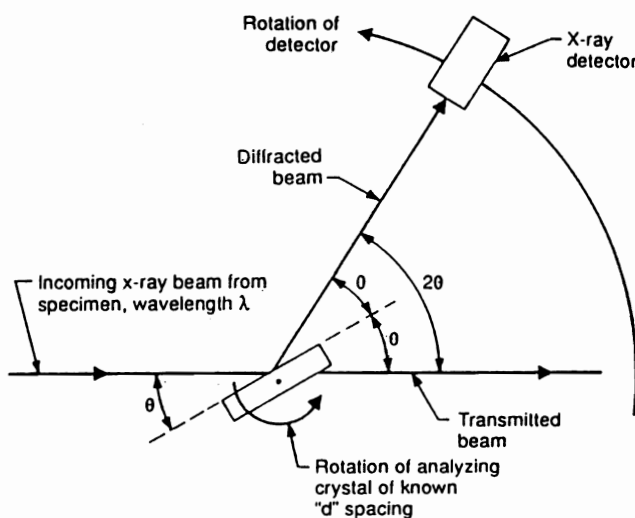
$\lambda$  = ความยาวคลื่นของรังสีเอ็กซ์

$\theta$  = มุมตกรอบที่รังสีเอ็กซ์กระทำกับพื้นผิว

หากผลึกที่รังสีเอ็กซ์ตกรอบเป็นผลึกของสารที่เรารู้ค่าระยะห่างระหว่างพื้นผิว( $d$ ) และเรารับให้ผลึกหมุนทำมุมตกรอบ ( $\theta$ ) ของรังสีเอ็กซ์ถูกหักเหไปเป็นมุม  $2\theta$  เข้าหาเครื่องตรวจจับอยู่เสมอ ดังรูปที่ 12 เรายังสามารถวัดความเข้ม (intensity) ของรังสีเอ็กซ์ที่มีความยาวคลื่นเฉพาะค่าหนึ่งได้ ความเข้มที่วัดได้ที่ความยาวคลื่นนี้ นำมาพลีอตกราฟแสดงความสัมพันธ์ระหว่างค่าความเข้มกับมุม  $2\theta$  โดยใช้สูตรที่ (1) ได้ รูปที่ 13 และดังตัวอย่างสเปคตรัมที่ได้จากชิ้นงานเหล็กกล้า ไรสันิมที่มี 19.4% Cr, 9.5% Ni, 1.5% Mo, 1.4% W และ 1.0% Mn โดยใช้ผลึกหักเหเป็น LiF ท่อรังสีเอ็กซ์มี Pt เป็นเป้าที่ 50 kV, 30 mA



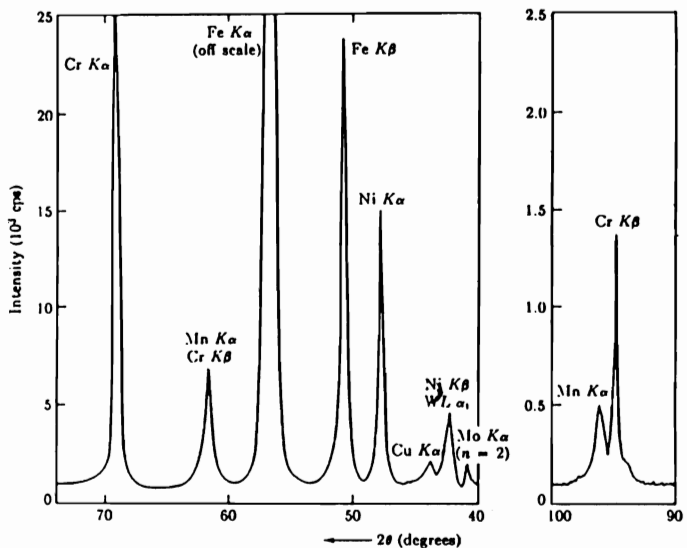
**ญี่ปุ่นที่ 11** Simplified derivation of Bragg's law of x-ray or electron diffraction. If angle  $\theta$  is such that the distance  $bc$  is  $1/2$  the wavelength  $\lambda$ , then Bragg's law is satisfied, and constructive interference occurs along the direction of angle  $\theta$ , causing diffraction.



**รูปที่ 12** Schematic illustration of a diffractometer used to analyze the spectrum from an x-ray beam.

ที่กล่าวมาข้างต้นก็หมดเป็นหลักการพื้นฐานของเครื่องวิเคราะห์ธาตุแบบ Wavelength Dispersive Spectrometer ซึ่งสามารถแยกแยะธาตุต่างๆ ได้ เช่นเดียวกับเครื่องวิเคราะห์ธาตุแบบ Energy Dispersive Spectrometer ที่ได้ก่อตัวถึงในบทที่แล้ว โดยมีข้อดี-ข้อเสียที่แตกต่างกันซึ่งจะได้กล่าวถึงในบทที่แล้ว โดยมีข้อดี-ข้อเสียที่แตกต่างกันซึ่งจะได้กล่าวถึงในตอนท้าย อย่างไรก็ทั้ง 2 วิธีต่างก็วัดจากรังสีเอกซ์ที่ถูกปล่อยออกมานี้ ไม่ว่าจะเป็น  $K\alpha$ ,  $K\beta$ ,  $L\alpha$ ,  $L\beta$  ....

**ตารางที่ 1** แสดงค่าของพลังงาน (keV) และความยาวคลื่น ( $\text{\AA}$ ) ของรังสีเอกซ์ Cu โดยมีธาตุอื่นปนอยู่ด้วย จากตารางจะเห็นว่าขณะที่ค่าของพลังงานเพิ่มขึ้น ค่าของความยาวคลื่นก็ยังลดลง



**รูปที่ 13** X-ray spectrum obtained by using an X-ray diffractometer (wavelength-dispersive spectrometry). The sample was stainless steel containing 19.4% Cr, 9.5% Ni, 1.5% Mo, 1.4% W, and 1.0% Mn, balance mainly Fe. A flat LiF crystal was used as the analyzer. A platinum target x-ray tube was used, operated at 50 kV and 30 mA. (Adapted from Cullity<sup>12</sup>; courtesy of Diano Corporation.)

line designation element	relative intensity El Line	atomic number I Z	energy (KeV) KeV	wavelength( $\text{\AA}$ ) Lambda
Lu L <sub>z</sub> -M <sub>2</sub>	0.1	71	8.083	1.538
Os Lt	.01	76	8.077	1.535
Ho L <sub>5</sub>	.1	67	8.061	1.538
Cu K <sub>\alpha 1</sub>	100	29	8.046	1.541
Ir L <sub>1</sub>	3	77	8.040	1.542
Cu K <sub>x1,2</sub>	150	29	8.040	1.542
Eu L <sub>\gamma 4</sub>	.1	63	8.029	1.544
Cu K <sub>\alpha 2</sub>	50	29	8.026	1.544
Ta L <sub>\beta 4</sub>	5	69	8.024	1.545
Ho L <sub>\beta 10</sub>	.01	67	8.005	1.548
Er L <sub>\beta 3</sub>		6.68	7.938	1.562
W L <sub>s</sub>	.01	74	7.925	1.564
Gd L <sub>\gamma 6</sub>	.01	64	7.924	1.564
Ho L <sub>\beta 2,15</sub>	20	67	7.910	1.567
Er L <sub>\beta 4</sub>	.1	68	7.908	1.567
Hf L <sub>x1</sub>	100	72	7.898	1.570
Gd L <sub>\gamma 4</sub>	.1	64	7.892	1.571
Lu La	1	71	7.856	1.578
Tb L <sub>\gamma 4</sub>	.1	65	7.852	1.579
Rc Lt	.01	75	7.851	1.579
Ta L <sub>\beta 2</sub>	.01	73	8.941	1.386
Yb L <sub>\beta 5</sub>	.1	70	8.938	1.387
Pt L <sub>s</sub>	.01	78	8.921	1.389
Yb L <sub>3-O<sub>2,3</sub></sub>	.01	70	8.919	1.390
Os L <sub>\alpha 1</sub>	100	76	8.910	1.391
Yb L <sub>\beta 10</sub>	.01	70	8.908	1.391
Hf L <sub>\beta 4</sub>	4	72	8.904	1.392
Cu K <sub>\beta 1,3</sub>	20	29	8.904	1.392
Ho L <sub>\gamma 6</sub>	.01	67	8.903	1.392
Cu K <sub>\beta 3</sub>	6	29	8.901	1.393

**ตารางที่ 1** Section of a table listing the energies of x-ray emisions of the elements. CuK $\alpha$  and CuK $\beta$  are noted.  
(Adapted from Johnson and White.<sup>11</sup>)

ความสัมพันธ์ของพลังงานและความยาวคลื่นเป็นไปตามสมการ

$$E\lambda = hc \quad (2)$$

โดยที่  $E$  = พลังงาน

$h$  = ค่าคงที่ของ Planck  $\lambda$  = ความยาวคลื่น

แสดงให้เห็นว่ารังสีเอกซ์ของธาตุแต่ละธาตุที่ถูกปล่อยออกมานามาก เกิดขึ้นที่พลังงานหรือความยาวคลื่นแตกต่างกัน ไม่ว่าจะเปลี่ยนค่าพลังงานหรือความยาวคลื่นก็สามารถวัดค่าความเข้มของธาตุที่มีอยู่ซึ่งในที่นี้หมายถึง  $CuK\alpha_1$ ,  $CuK\alpha_2$  และ  $CuK\beta$  ได้หรือกล่าวได้ว่าเราสามารถวัดธาตุที่ต้องการจากค่าพลังงาน หรือค่าความยาวคลื่นของรังสีเอกซ์ที่เกิดขึ้น ที่ได้ หรืออีกนัยหนึ่งก็คือ เราสามารถวิเคราะห์ธาตุด้วยวิธี Energy Dispersive Spectrometry หรือวีชี Wavelength

Dispersive Spectrometry ก็ได้

### เครื่องมือ

การหักเหที่มีความเข้มสูงที่สุด เมื่อค่า  $n = 1$  เพราะเมื่อ order สูงขึ้น ( $n=2,3,4...$ ) ความเข้มมักจะอ่อนจนยากที่จะวัดให้ละเอียดแม่นยำได้ ช่วงมุมหักเห  $2\theta$  โดยทั่วไปอยู่ระหว่าง  $20^\circ - 120^\circ$  เพื่อวิเคราะห์ธาตุจาก  $Z = 4$  ถึง 92 ช่วงความยาวคลื่นอยู่ระหว่าง 0.5 ถึง  $100 \text{ \AA}$  ซึ่งทำให้ต้องมีอย่างน้อย 3 ผลึกที่มีค่า  $d$  ต่างกันผลึกที่ใช้หักห้าไปแสดงไว้ในตารางที่ 2 ผลึกแต่ละชนิดทำให้ธาตุหนึ่งๆ หักเหที่มุมต่างกัน เช่น ถ้าใช้ผลึก LiF(200) ก็อาจจะหา order แรกของ  $CuK\alpha$  ได้จากสูตรที่(1) คือ

### ตารางที่ 2

ผลึก	Reflection Plane	ค่า $2d (\text{\AA})$	ช่วงความยาวคลื่นที่ใช้แยก ( $\text{\AA}$ ) $2\theta = 10^\circ - 145^\circ$
topaz	(303)	2.712	0.236–2.59
lithium fluoride	LiF (220)	2.848	0.248–2.72
rock salt	NaCl (200)	5.639	0.492–5.38
quartz	(101)	6.686	0.583–6.38
quartz	(100)	8.50	0.742–8.12
penta erythritol	PET(002)	8.742	0.762–8.34
ethylenediamine d-tartrate	EDDT(020)	8.808	0.768–8.40
amm. dihydrogen phosphate	ADP(110)	10.65	0.927–10.15
gypsum	(020)	15.19	1.32–14.48
mica	(002)	19.8	1.73–18.92
potassium hydrogen phthalate	KHP(101)	26.4	2.32–25.40
lead stearate		100	8.75–95.75

$$\begin{aligned} \text{ที่จะได้} \quad 1.542 &= 4.028 \sin \theta \\ 2\theta &= 45.02^\circ \end{aligned}$$

หากใช้ผลึกที่แบบราบจะมีเพียงรังสีเอกซ์บางส่วนเท่านั้น ที่หักเหเข้ามาที่เครื่องตรวจจับ (กรวยที่ 14a) ทำให้ระดับความเข้มรังสีเอกซ์ที่วัดได้มีค่าต่ำมาก การใช้ผลึกโค้งทำให้รังสีเอกซ์ถูกหักเหมากที่เครื่องตรวจจับได้มากขึ้น กรวยที่ 14b

โดยผลึกมีรัศมีความโค้ง  $2r$  และความเข้มจะมีค่ามากที่สุดเมื่อรัศมีความโค้งของผลึกเป็น  $r$  (กรวยที่ 14c) เมื่อมุม  $\theta$  แปรเปลี่ยนไปเพื่อให้ได้ความยาวคลื่นที่เปลี่ยนแปลงไป จำเป็นต้องให้ชั้นงาน ผลึก และเครื่องตรวจจับอยู่บนวงกลม Rowland อยู่เสมอ เพื่อให้เครื่องตรวจจับรับตรงจากผลึกและให้ผลึกทำมุม  $\theta$  กับเครื่องตรวจจับเข้าเดียวกับชั้นงานทำมุม  $\theta$  กับผลึก ทำให้ต้องมีการออกแบบที่ดี

Wavelength Dispersive Spectrometer ประกอบด้วยระบบบกกลไกที่มีความละเอียดแม่นยำสูง เนื่องจากต้องปรับค่ามุมระหว่างชิ้นงานและผลึกที่ทำหน้าที่หักเหกันมุมระหว่างผลึกหักเหและเครื่องตรวจรังสีเอ็กซ์ รูปที่ 15 แสดงเครื่องวิเคราะห์ทั่วไปของเครื่องวิเคราะห์ธาตุแบบ WDS ในการวัดรังสีเอ็กซ์ที่มีความยาวคลื่นต่างๆ กัน ตำแหน่งของผลึกหักเหและเครื่องตรวจจับต้องเปลี่ยนแปลงเมื่อเทียบกับชิ้นงานที่อยู่กับที่ เพื่อเปลี่ยนค่ามุมดังรูปที่ 16 และเพื่อให้ครอบคลุมช่วงระยะของความยาวคลื่นของรังสีเอ็กซ์ที่วัดระหว่าง 6.8 nm ของธาตุ B K $\alpha$ (183eV) จนถึง 0.092 nm ของธาตุ U L $\alpha$  (13.4keV) จำเป็นต้องมีผลึกหักเหชนิดต่างๆ หลายชนิด เครื่องวิเคราะห์แบบ WDS โดยทั่วไปมักจะมีผลึก 4 ชนิดที่เลื่อนเปลี่ยนได้ ตารางที่ 3 แสดงผลึก 4 ชนิดที่ใช้ในเครื่อง WDS รุ่น T300-FCS ของ JEOL Ltd. ที่ใช้ประกอบกับเครื่อง SEM รุ่น JSM 540

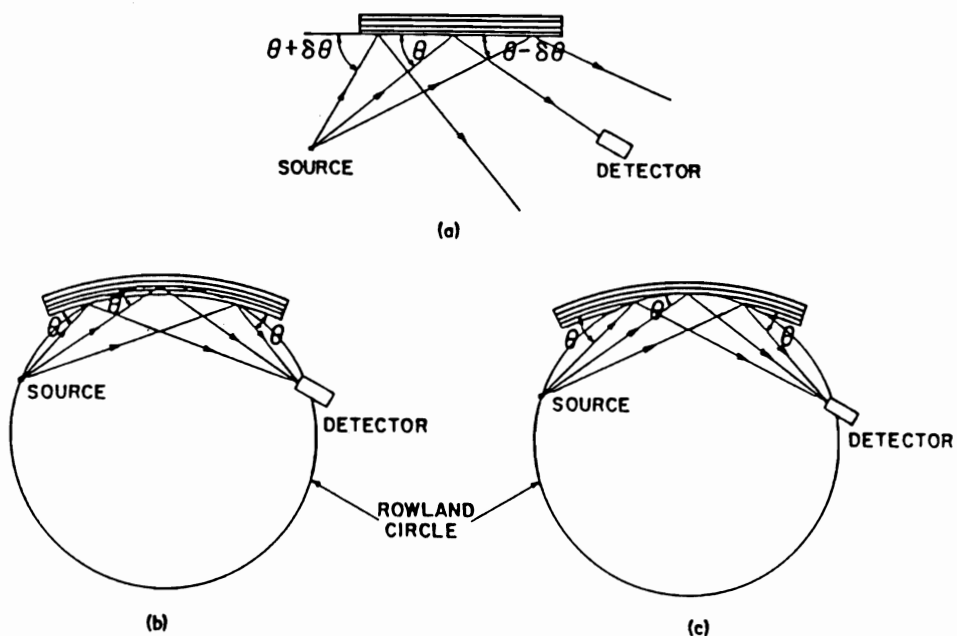
รูปที่ 15 ได้แสดงไว้ว่า เมื่อมุมตកกระบบเปลี่ยนแปลงไป จุด S, C' และ D' ยังคงอยู่บนวงกลม Rowland เสมอและระยะทาง SC' กับ CD' ที่เท่ากันเสมอ นอกจากนี้ผลึกจะถูกจัดให้มีน้ำหนักต่อน้ำหนักตัวเองเป็น 35° ซึ่งทำให้มุม X-ray take-off angle เป็น 35° ดังนั้นไม่ว่าค่าความยาวคลื่นของรังสีเอ็กซ์จะเป็นเท่าไร ก็สามารถตรวจจับได้อย่างมีประสิทธิภาพสูง ค่าต่างๆ ของความยาวคลื่นแสดงออกเป็นการแปรค่าตามยาวของตำแหน่งผลึก ถ้าหาก  $I = \text{ระยะทางระหว่างแหล่งรังสีเอ็กซ์กับผลึก} / \text{ระยะทางระหว่างแหล่งรังสีเอ็กซ์กับวงกลม}$

$$I = 2R \sin \theta \quad (3)$$

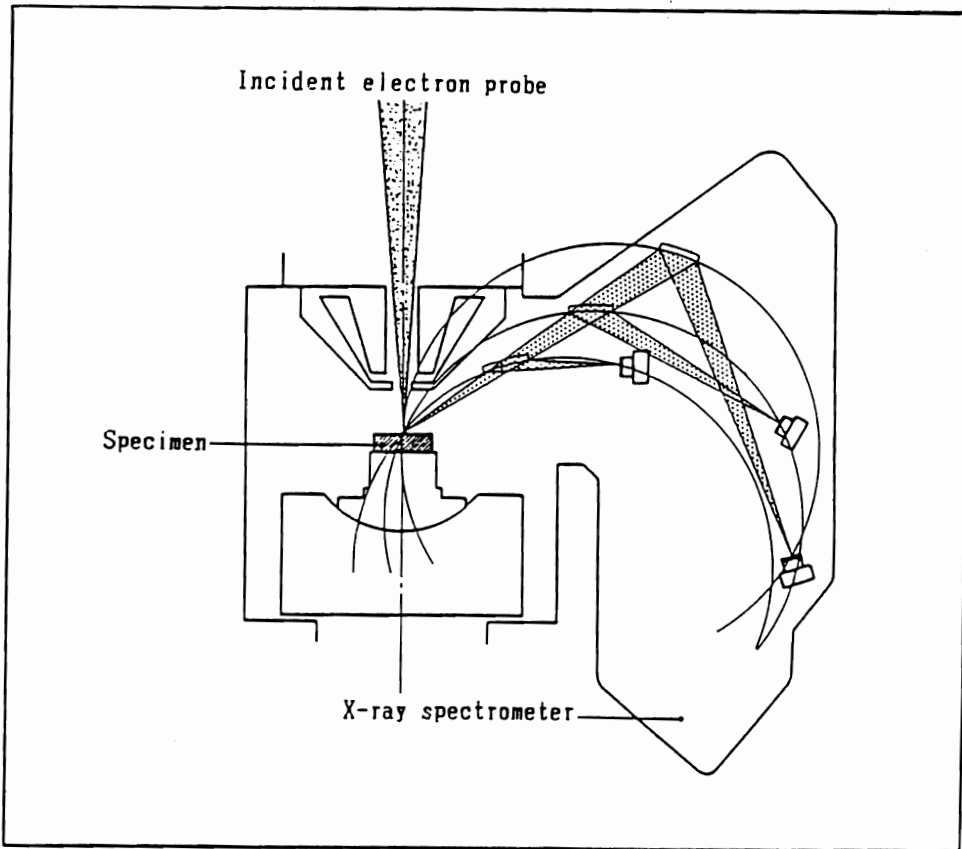
โดย  $R = \text{รัศมีของวงกลม Rowland} = 140 \text{ mm}$   
จากสูตรที่ (1) กับ (3) จะได้

$$I = R n \lambda / d \quad (4)$$

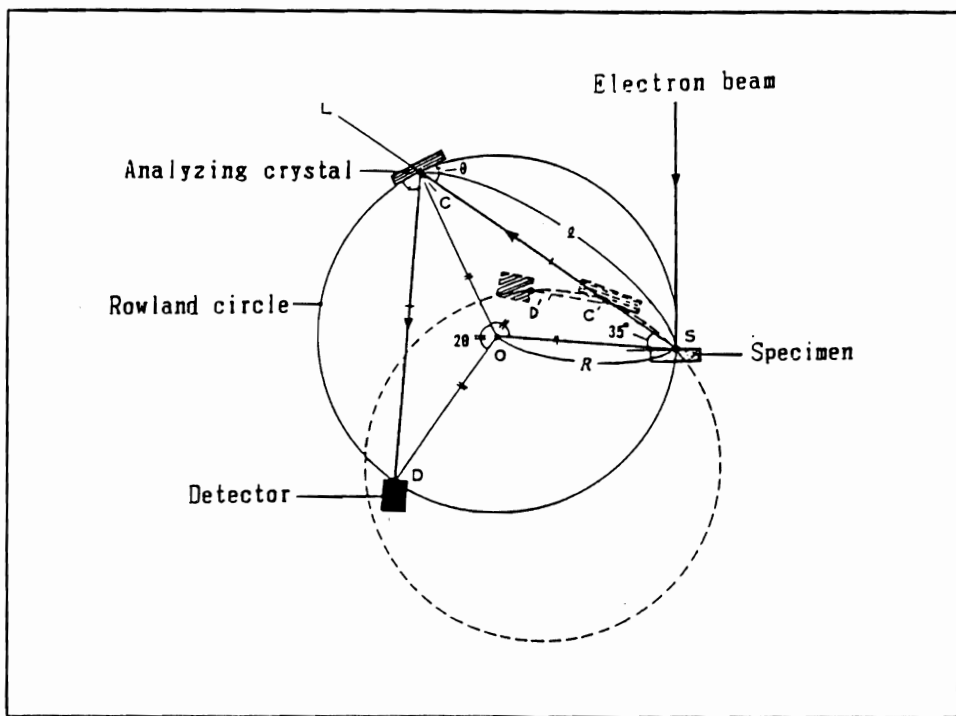
เมื่อรู้ตำแหน่ง peak ของรังสีเอ็กซ์เฉพาะที่ตรวจจับ 1 ย่อมรู้ค่าของความยาวคลื่นและวิเคราะห์ธาตุที่ต้องการหาได้



รูปที่ 14 X-ray spectrometers : (a) nonfocusing type (flat crystal); (b) partially focusing Johann (bent crystal); (c) fully focusing Johannsson type (bent and ground crystal).



รูปที่ 15 Wavelength dispersive X-ray analysis



รูปที่ 16 Geometry of X-ray spectrometer

### ตารางที่ 3

Analyzing crystal	Lattice spacing $2d$ (nm)	Detection wavelength range $\lambda$ (nm)	Element range		
			K	L	M
L i F	0.403	0.104 ~ 0.349	C a ~ S e	S b ~ R n	
P E T	0.874	0.226 ~ 0.757	S i ~ C r	R b ~ P m	H f ~ U
T A P	2.58	0.668 ~ 2.232	F ~ S i	C r ~ S r	L a ~ R e
M Y R	8.0	2.1 ~ 6.9	B ~ O	C a ~ C r	

WDS ส่วนใหญ่ใช้ flow proportional counter ซึ่งมี window ที่บานมาก ( $5 \mu\text{m}$ ) ซึ่งแก๊สจะผ่านอย่างต่อเนื่องโดยที่บริเวณ window ไม่ได้เป็นสูญญากาศสมบูรณ์ เครื่อง flow proportional counter สามารถตรวจจับรังสีได้ถึงความยาวคลื่น  $10^{-4} \text{ Å}$  แก๊สที่ใช้ทั่วไปเป็น P-10 ซึ่งเป็นส่วนผสมของ 90 % อาร์กอนกับ 10 % มีเทน เมื่อรังสีเอ็กซ์เข้ามาในเครื่องตรวจจับ อาร์กอนจะถูกอิオンในส์เกิดเป็นคู่  $\text{Ar}^+ - e^-$  มากมาย ลวดในเครื่องตรวจจับที่เป็นอะโนดจับกันอิเล็กตรอน ขณะที่อิเล็กตรอนที่เป็นคงทอดตรงผ่านของตัวหุ้ม (housing) ทำให้  $\text{Ar}^+$  เป็นกลาง ผลคือเกิด pulse ของกระแสไฟฟ้ากับทุกๆ รังสีเอ็กซ์ที่เข้ามาในเครื่องตรวจจับ เครื่องตรวจจับมีประสิทธิภาพสูงในการตรวจจับรังสีเอ็กซ์ที่มีพลังงานน้อยกว่า  $8 \text{ keV}$  โดยประมาณ (ความยาวคลื่นมากกว่า  $0.15 \text{ mm}$  โดยประมาณ) พวกที่มีพลังงานสูงกว่านี้จะทะลุผ่านเครื่องตรวจจับไป

Voltage pulse จากเครื่อง proportional counter เป็นสัดส่วนตรงกับพลังงานของรังสีเอ็กซ์ที่ตกกระทบ และนำมาวิเคราะห์เพื่อเลือก pulse ของพลังงานที่สนใจทาง เทคนิคนี้ช่วยในการแยกแยะองค์ประกอบที่มีความยาวคลื่นต่างกันของสเปกตรัมของรังสีเอ็กซ์ เช่น ชั้นงานที่มีทั้ง Fluorine ( $\lambda K\alpha = 18.31$ ) และ Phosphorus ( $\lambda K\alpha = 6.155$ ) โดยการใช้ผลึก Lead stearate นูน 20 ของ peak ใน order แรกของ F กับ order ที่ 3 ของ P ต่างกันเพียง  $0.003^\circ$  เพราะฉะนั้นการนับ F จะถูกกลบด้วย P แต่พลังงานของรังสีเอ็กซ์จาก F มีค่าเพียง 1 ใน 3 ของ P ทำให้ voltage pulse ของ F ถูกแยกออกจากของ P ซึ่งใหญ่กว่ามาก จึงวัดความเข้มของ F

F ได้ เทคนิคของ pulse-height นี้ใช้กันกว้างขวางในการจัด pulse ที่พลังงานต่ำ เป็นการเสริมให้อัตราส่วน P/B (peak to background) ดีขึ้น

proportional counter ใช้เวลา  $1-2 \text{ } \mu\text{s}$  หลังจากที่ pulse เข้าไปข้างในก่อนที่จะตรวจจับ pulse ถัดไป dead time นี้อาจเพิ่มขึ้นเป็น  $5-10 \text{ } \mu\text{s}$  ถ้ามีรังสีเอ็กซ์เข้ามาใน counter ในช่วงเวลา này เครื่องจะไม่สามารถตรวจจับได้ที่ count rate สูง ( $>20,000 \text{ cps}$ ) จะมีค่าผิดพลาดจากการวัดซึ่งต้องมีการปรับแก้ให้ถูกต้องตามสูตร

$$c(\text{time}) = c(\text{obs})$$

$$1 - c(\text{obs}) \times d$$

โดยที่  $d$  = dead time

นอกจากการมี spectral resolution ที่ดีมากของ WDS แล้ว dead time ของระบบ pulse-processing ก็มีอยู่มากเพียง  $1 \text{ } \mu\text{s}$  หรือต่ำกว่า ซึ่งทำให้ count rate อยู่ในระดับ  $10^5 \text{ cps}$  เนื่องจากรังสีเอ็กซ์ที่มีช่วงพลังงานแคบที่จะเข้ามายังเครื่องตรวจจับใน WDS ตามกระบวนการหักเห ทำให้วัด count rate จาก peak ที่เราสนใจได้ โดยที่รังสีเอ็กซ์อื่นๆ ไม่เข้ามารบกวน count rate นี้

ข้อเสียของปрактиการณ์การหักเหกับการโฟกัสของ WDS คือการที่ความไวของ WDS ต่อตำแหน่งในแนวตั้งของชั้นงานเทียบกับเครื่อง WDS และตำแหน่งด้านข้างของลำอิเล็กตรอนเทียบกับกล้องสองดูชั้นงาน จากการที่ต้องการความแน่นอนและแม่นยำของตำแหน่งชั้นงาน จึงต้องมีกล้องจุลทรรศน์ที่มี depth of focus ตื้นติดอยู่ด้วยเพื่อให้สามารถดูชั้นงานในเวลาเดียวกันกับที่สามารถดูภาพ SEM ได้ ทำให้สะดวกต่อ

การตีความรูปร่างของภาพที่เห็นความไวของ WDS ต่อตำแหน่งด้านข้างของแหล่งกำเนิดรังสีเอ็กซ์ที่เกิดขึ้นจากคำอิเล็กตรอนมีผลต่อการเตรียมของการสแกนพื้นที่ (area scan) ของรังสีเอ็กซ์ การสแกนมากกว่า  $50 \mu\text{s}$  ทำให้ความเข้มของรังสีเอ็กซ์ลดลง ยกต่อการตีความภาพที่ได้จากการรังสีเอ็กซ์

ค่าของ  $n$  ในกฎของ Bragg เกี่ยวกับกับ order ที่ต่างกันของการหักเหทำให้ความยาวคลื่นของรังสีเอ็กซ์ค่าที่นึง กล่าวคือ parent peak หนึ่งก่อให้เกิดชุด (series) ของ peak จาก order การหักเหที่ปราฏที่มุ่นอื่นของ WDS การเกิดชุดแบบที่คุณตลอดช่วงความยาวคลื่น ทำให้การวิเคราะห์เชิงคุณภาพมีความยุ่งยากขึ้น และต้องการความระมัดระวังต่อการตีความผิดของ peak ที่มีความเข้มต่ำกว่าเป็นธาตุส่วนน้อย (minor or trace element) เมื่อมันอยู่ในเส้น order ที่สูงกว่าเมื่อเทียบกับ parent peak อย่างไรก็ตามรังสีที่มีพลังงานต่างกัน 2 ค่าอาจหักเหที่มุ่นเดียวกัน จึงสามารถแยกแยะรังสีเอ็กซ์ด้วยขนาดต่างกันของ pulse ที่เกิดขึ้นใน flow proportional counter ได้

resolution ของสเปคตรัมแบบ Wavelength-dispersive ให้รายละเอียดมากกว่าสเปคตรัมแบบ Energy-dispersive มาก สำหรับรังสีเอ็กซ์ที่มีพลังงานต่ำ ( $<2 \text{ keV}$ ) สถานะทางเคมีของชิ้นงานต้องอาจมีผลต่อพลังงานและความยาวคลื่นของรังสีเอ็กซ์ เพราะสถานะทางอิเล็กตรอนที่ต้องใช้ในการเกิดรังสีเอ็กซ์เคลื่อนที่ (shift) ไปเนื่องจากพันธะทางเคมี

## การวิเคราะห์เชิงคุณภาพ

พื้นฐานในการวิเคราะห์เชิงคุณภาพ จำเป็นต้องมีแอลกิด 2 ประการคือ

1. เข้าใจธรรมชาติของการเกิดรังสีเอ็กซ์เฉพาะและ การตรวจจับของเครื่อง
2. มีระบบที่จะตรวจสอบอย่างระมัดระวังต่อเส้นรังสีเอ็กซ์ที่เป็นไปได้ทั้งหมดและตำแหน่งของธาตุที่เกี่ยวข้องของการบันทึกไว้ก่อนที่จะพิจารณาธาตุตัวถัดไป เช่น เมื่อสามารถพบธาตุที่วิเคราะห์จากเส้น K ได้ ก็ควรจะหาตำแหน่งที่เป็นไปได้ของเส้น L และ M ที่พลังงานต่ำกว่าในสเปคตรัมด้วย

WDS มีความซับซ้อนจากธรรมชาติของกระบวนการตรวจจับการหักเห ค่า  $n$  ในกฎของ Bragg ทำให้เกิด order หลายๆ order ในสเปคตรัมจาก parent peak ค่าเดียว เส้น order ที่สูงกว่าอาจปราฏบนผลลัพธ์อื่นนอกเหนือจากผลลัพธ์ของ parent peak

การวิเคราะห์เชิงคุณภาพของ WDS อาจจะเริ่มจากใช้ข้อมูลเบื้องต้นที่ทำมาจากสเปคตรัมของ EDS เพื่อวิเคราะห์ธาตุที่มีปริมาณมากในชิ้นงาน เมื่อรู้ค่าเส้น K กับ L หรือ L กับ M แล้วก็ทำอุปนายาคเป็นช่วงการสแกนความยาวคลื่น สำหรับผลลัพธ์หักเหที่มีอยู่ทั้งหมดภายในเครื่อง WDS จากนั้นกำหนดตำแหน่งของเส้นสำคัญแต่ละเส้นจาก order ที่สูงขึ้น ( $n=2,3,4\dots$ )

หลังจากที่กำหนดเส้นทุกเส้นของธาตุที่มีปริมาณมากแล้ว peak ที่เหลืออาจเป็นธาตุส่วนน้อย แต่ peak ที่มีความเข้มน้อยก็อาจจะเกิดจาก peak ที่มี order สูงขึ้นจากธาตุที่มีปริมาณมากก็ได้ การวิเคราะห์ทำตำแหน่ง peak ของธาตุที่มีปริมาณมากจึงเป็นเรื่องสำคัญมาก เริ่มจากความยาวคลื่นที่สั้นที่สุด (พลังงานรังสีเอ็กซ์ที่สูงที่สุด) ต้องตรวจสอบ peak ที่ต้องการวิเคราะห์กับข้อมูลรังสีเอ็กซ์ให้ดี เพื่อหาธาตุที่เป็นไปได้ต่อไป

หลังจากนั้นจึงทำการวิเคราะห์ธาตุส่วนน้อย ซึ่งควรจะย้ำความถูกต้องด้วยการหาเส้นอื่นๆ ของธาตุนั้นด้วยเนื่องจากว่า WDS ให้ resolution ที่ดีมาก จึงเป็นไปได้ที่จะพบเส้นรังสีเอ็กซ์มากกว่า 1 เส้น เพื่อหาธาตุส่วนน้อยได้ ในการนี้ของธาตุที่มีปริมาณน้อยมากเข้าใกล้กับจุดจำกัดของการตรวจจับ (ประมาณ  $100 \text{ ppm}$ ) อาจจะพบเพียง 1 peak ต่อ 1 ธาตุ โดยเฉพาะอย่างยิ่งเส้น K เพราะความเข้มเส้น K $\beta$  จะมีค่าเพียง 1 ใน 10 หรือน้อยกว่าค่าของเส้น K $\alpha$  การพบเพียงเส้นเดียวຍ่อมให้ความมั่นใจน้อยกว่าการพบมากกว่า 1 เส้น

## การทำ mapping

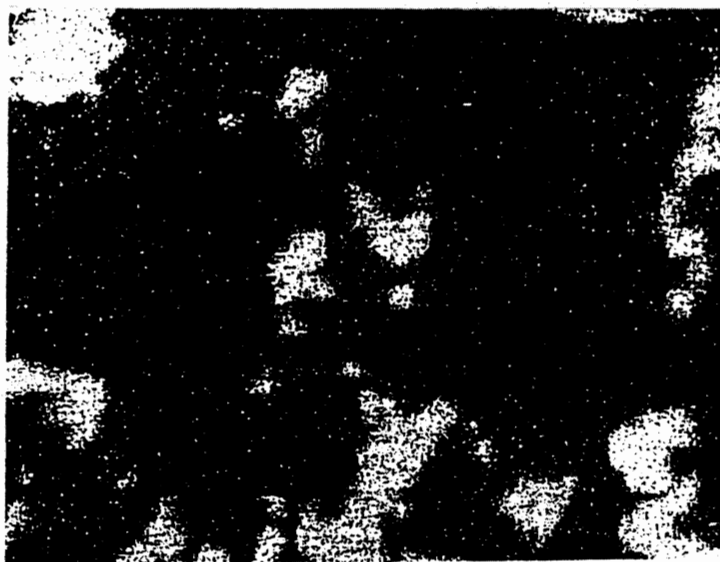
WDS สามารถทำ mapping แสดงตำแหน่งของธาตุต่างๆ ได้ด้วย (1) count rate สูงของ WDS บวกกับช่วงพลังงานที่แคบมากที่เครื่องตรวจจับได้และ (2) อัตราส่วน P/B สูง ข้อ (1) นั้นทำให้ WDS ทำงานที่กระแสนไฟฟ้าสูงมากได้ในกรณีของธาตุที่มีปริมาณมากและน้อยนั้น การทำงานที่กระแสงสูง ทำให้สามารถบันทึกรังสีเอ็กซ์สะสมกันได้ในเวลาอันสั้น แต่ในกรณีของธาตุที่มีปริมาณน้อยมาก ข้อ (1) และ (2) ช่วยให้ทำ mapping ต่ำขนาด  $0.1 \text{ wt\%}$  ได้ถ้าใช้เวลานานพอคือ  $>5 \text{ ช.ม.}$  รูปที่ 17 แสดงตัวอย่างของรูป X-ray mapping โดยใช้ WDS โดยแสดงบริเวณที่มีธาตุ Ca ในรูป b, Pb ในรูป c และ Zn ในรูป d

EDS ก็ใช้ทำ mapping ได้ แต่การใช้งานแบบนี้โดยทั่วไปจะใช้ WDS EDS จะดีกว่า WDS ในการทำ mapping เมื่อใช้กำลังขยายต่ำ (800 เท่าหรือต่ำกว่า) รังสีเอ็กซ์ ที่เกิดจะสูญเสียไปจากการทะลุผ่านเครื่องตรวจจับออก

ไปที่กำลังขยายต่ำกว่า 400 เท่า ส่วนที่สูญเสียไปตรงขอบที่สแกนอาจมากกว่า 2 เท่า ของบริเวณใจกลางจนทำให้ค่าที่ได้ตรงขอบผิดพลาดมากได้ (ดูรูปที่ 18)



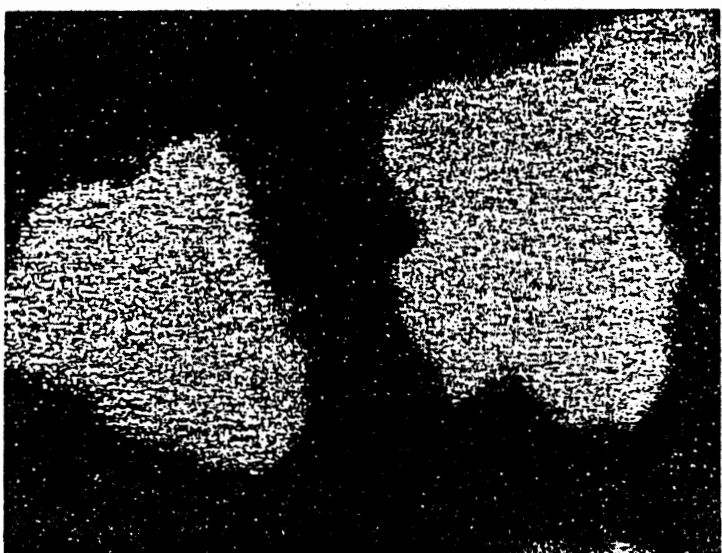
(a) Backscattered electron image



(b) Ca-K $\alpha$  X-ray image

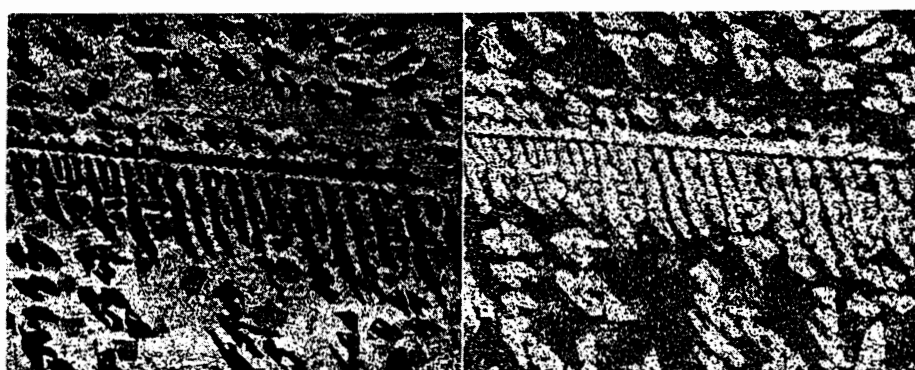


(c) Pb-L $\alpha$  X-ray image



(d) Zn-K $\alpha$  X-ray image

รูปที่ 17



รูปที่ 18 แสดงภาพ SEM (ภาพซ้าย) และภาพ mapping จากเครื่องวิเคราะห์ EDS (ภาพขวา)  
ที่กำลังขยายต่อ (60 เท่า)

## การวิเคราะห์เชิงปริมาณ

การวิเคราะห์เชิงปริมาณมีความจำเป็นต้องปรับแก้ให้ถูกต้องที่เรียกว่า ZAF correction โดยมีการปรับแก้ตาม atomic number (Z) การดูดกลืน (A) และกลไกการเรืองแสง (F) เพื่อให้ค่าที่วิเคราะห์ได้เชื่อถือได้เข้าใกล้ความเป็นจริงมากที่สุด

ชิ้นงานตัวอย่างมาตรฐาน หากชิ้นงานตัวอย่างมาตรฐานมีส่วนผสมเคมีใกล้เคียงกับชิ้นงานที่ต้องการวิเคราะห์ อิทธิพลของเนื้อพื้น (matrix) ต่อความเข้มรังสีเอ็กซ์มีน้อยมาก การวิเคราะห์เชิงปริมาณ เป็นเพียงการเปรียบเทียบกันธรรมชาติ เท่านั้น แต่ในทางปฏิบัติชิ้นงานตัวอย่างมาตรฐานมักจะมีส่วนผสมทางเคมีแตกต่างจากชิ้นงานที่ต้องการวิเคราะห์ จำเป็นต้อง มีการปรับแก้ทางคณิตศาสตร์ ความต้องการให้มีความเป็นเนื้อเดียวกัน และการแยกแยะส่วนผสมของชิ้นงานตัวอย่าง มาตรฐาน จึงทำให้ต้องใช้ธาตุบริสุทธิ์มาทำชิ้นงานมาตรฐานสำหรับงานวิเคราะห์เชิงปริมาณ

ความละเอียดและแม่นยำ ความละเอียดหมายถึง ความสามารถ ของการประมาณค่าส่วนผสมทางเคมีของชิ้นงาน ที่แท้จริงได้โดยมีค่าผิดพลาดน้อย ความละเอียดนี้ย่อมขึ้นกับ ปัจจัยหลายอย่าง เช่น

1. ความละเอียดของการวัดความเข้มรังสีเอ็กซ์เฉพาะ
2. ตีกีร์ที่บริเวณผิวชิ้นงาน ที่กำลังวิเคราะห์สามารถ เป็นตัวแทนในด้านส่วนผสมทางเคมีและโครงสร้างของชิ้นงานนั้น
3. คุณภาพของชิ้นงานตัวอย่างมาตรฐานและวิธีการทำ standardization และ

4. กระบวนการวิเคราะห์ความเข้มรังสีเอ็กซ์ที่วัดได้ จากชิ้นงานวิเคราะห์และชิ้นงานมาตรฐาน

การวัดความเข้มรังสีเอ็กซ์เฉพาะ ควรมีการปรับแก้ สำหรับ background, การแทรกข้อมูลของเส้น , dead time และ ความไม่แน่นอนทางสถิติอยู่ด้วย ความเป็นตัวแทนของปริมาณ ของบริเวณที่วิเคราะห์ ต้องพิจารณาในแง่ของ macroscopic และ microscopic สำหรับในแง่ของ microscopic ต้อง พิจารณาจุดเหล่านี้คือ

- ความเป็นไปได้ที่จะจัดธาตุบางธาตุออกไปจาก การกัดน้ำยา (etching) ในกระบวนการเตรียมผิวชิ้นงาน

- ธาตุบางธาตุอาจถูกจัดออกภายใต้ลักษณะเดียวกัน หรือถ้าความเป็นสุญญาการไม่ต่อพอก ก็อาจถูกจัดเป็น contaminate ที่ผิว

- การที่ผิวชิ้นงานมี C และ S อยู่ก็อาจมาจากการ แตกตัวของน้ำมันใน diffusion pump เหลือค้างอยู่ใน สุญญาการ

- การแพร่ซึม (diffusion) ของธาตุบางชนิดเกิดขึ้น ได้ ถ้าชิ้นงานได้รับความร้อนสูง

ความจำกัดของการตรวจจับ นอกจากรังสีเอ็กซ์ เฉพาะแล้ว ชิ้นงานที่ถูกบ่มาร์คด้วยอิเล็กตรอนยังปล่อย background spectrum ซึ่งเกิดจากการชนแบบ inelastic ของอิเล็กตรอนกับอะตอมชิ้นงาน background spectrum นี้ ทำให้ตรวจจับสัญญาณอ่อนของรังสีเอ็กซ์เฉพาะได้ยาก จึง ทำให้ความไวต่ำ (ความสามารถที่จะหาธาตุส่วนน้อยได้ต่ำ) สำหรับธาตุที่มี Z>10 ปริมาณที่น้อยที่สุดที่สามารถตรวจจับได้ อยู่ระหว่าง 10 ถึง 100 ppm ในกรณีของ WDS

spatial resolution การศึกษาความสามารถวิเคราะห์ให้ถูกต้องย่อมทำได้ยาก หากไม่สามารถประมาณปริมาตรของ บริเวณที่ปล่อยรังสีเอ็กซ์ออกมานา ความลึกจากผิวชิ้นงานที่ อิเล็กตรอนไม่สามารถกระดับรังสีเอ็กซ์ได้ขึ้นอยู่กับแรงดันไฟฟ้า ที่ใช้งาน ( $V_0$ ), critical excitation voltage ( $V_q$ ) ของ รังสีเอ็กซ์ที่ปล่อยออกมานา และความหนาแน่นของชิ้นงานซึ่ง สามารถ คำนวณค่าประมาณได้จากสูตร

$$d = \frac{0.035}{(V_0^{1.65} - V_q^{1.65})} \mu\text{m} \quad (6)$$

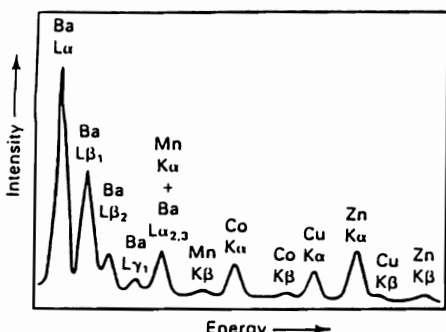
q

เนื่องจากลักษณะเดียวกันกับเมล็ดเข้าไปในชิ้นงานและออกด้านข้างด้วย จึงอาจ สรุปได้ว่าความกว้างของบริเวณที่ปล่อยรังสีออกมานาใกล้เคียงกับ ความลึกที่ปล่อยรังสีเอ็กซ์ออกมานาด้วย

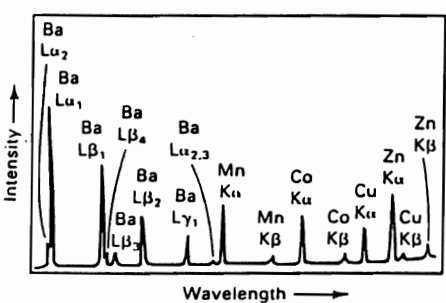
## เปรียบเทียบระบบ EDS และ WDS

รูปที่ 19 แสดงสเปกตรัมของ EDS และ WDS จากแก้ว EDS จะให้สเปกตรัมของรังสีเอ็กซ์ทั้งหมดในเวลาเดียวกัน แสดงองค์ประกอบที่มีปริมาณมากและน้อยออกมานาใน ขณะที่ WDS ต้องมีการสแกนตลอดช่วงความยาวคลื่นด้วย ผลลัพธ์ที่ได้จะเปลี่ยนไป เพื่อให้ครอบคลุมช่วงพลังงานเดียวกันกับที่ใช้ใน EDS จึงต้องเสียเวลามากกว่า EDS จึงต้อง กว่าในแง่ของการวิเคราะห์เชิงคุณภาพที่รวดเร็ว โดยเฉพาะ อย่างยิ่งการวิเคราะห์ชิ้นงานที่ไม่รู้ส่วนผสมทางเคมีเลย

spatial resolution จากการเปรียบเทียบสเปกตรัม ของ EDS และ WDS จะเห็นได้ว่า WDS แยกแยะ peak ต่างๆ ได้ดีเจนมากเมื่อเทียบกับของ EDS ที่แยกแยะได้ยาก เช่น peak ของ Zn K $\alpha$  กับ Cu K $\beta$  ที่ค่อนข้างคลุมเครือ หรือ peak Mn K $\alpha$  กับ Ba L $\alpha_{2,3}$  ที่แยกแยะไม่ออกเลย ดังนั้นหากวิเคราะห์เชิงคุณภาพด้วย EDS และ WDS ก็ สามารถแยกแยะได้ว่ามี peak ของธาตุส่วนน้อยซ่อนอยู่ใน peak ของธาตุที่มีปริมาณมากได้



(a)



(b)

**รูปที่ 19** Energy-dispersive (a) and wavelength-dispersive (b) x-ray spectra of a multicomponent glass

ปัญหาการแทรกซ้อนแบบนี้ของรังสีเอ็กซ์ที่บริเวณ 2.30 keV นั้นเป็นเรื่องที่น่าสนใจเดียว เพราะบริเวณนั้นมี S K $\alpha$  (2.307 keV), Mo L $\alpha$  (2.293 keV) และ Pb M $\alpha$  (2.346 keV) กรณีของ Mo และ Pb ต่างก็มีเส้นรังสีเอ็กซ์เส้นอื่นอีกด้วย Mo K $\alpha$  ที่ 17.48 keV และ Pb L $\alpha$  ที่ 10.55 keV แต่ของ S มีเพียงเส้น K เท่านั้น ดังนั้นการวิเคราะห์ถูกว่า มี S ปริมาณน้อยๆ เมื่อมี Pb หรือ Mo ปริมาณมากย่อมทำได้ยากมากกับเครื่อง EDS แต่ WDS จะทำได้ง่ายกว่า

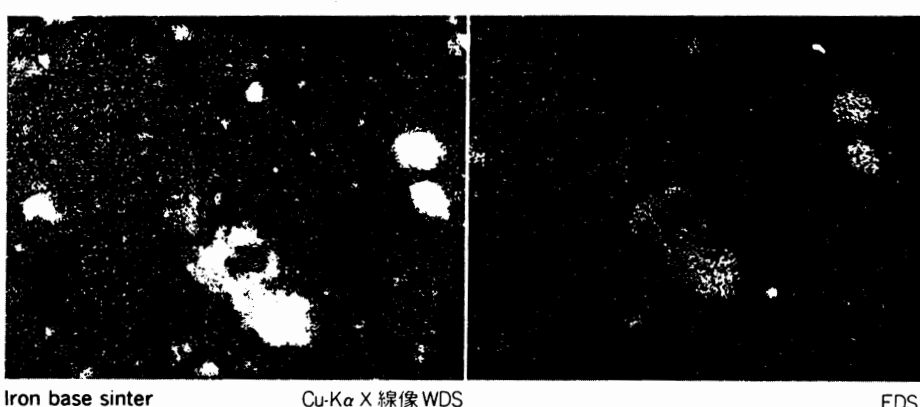
การวิเคราะห์ธาตุบาง ใน การวิเคราะห์ธาตุเบา ( $Z < 10$ ) ทั้ง EDS และ WDS ต่างก็วิเคราะห์รังสีเอ็กซ์จากธาตุเบา ขนาด B ( $Z=5$ ) ได้ แต่มักจะเลือกใช้ WDS มากกว่า เพราะ ธาตุหนักในชิ้นงาน ( $Z>20$ ) จะให้รังสีเอ็กซ์เส้น L หรือ M ที่มักจะแทรกซ้อน (interfere) กับเส้น K ของธาตุเบา

ความจำจัดของการตรวจจับ dead time ที่ยาวนาน และอัตราส่วน P/B(peak to background) ที่ไม่ดีใน EDS ทำให้เกิดความจำจัดของการตรวจจับคือประมาณ 0.1 wt% ขณะที่อัตราส่วน P/B สูงและ count rate สูงของ peak ใน WDS ทำให้ความจำจัดของการตรวจจับถึง 0.01 wt% หรือต่ำกว่า ในการทำ mapping WDS ให้ภาพที่ดีกว่าในทางสถิติ เพราะอัตราส่วน P/B สูง (ดังรูปที่ 20)

การเลือกใช้ การติดตั้งทั้ง EDS และ WDS จะทำให้ใช้งานได้อย่างเหมาะสมที่สุด (optimum) แต่ถ้าต้องเลือกระหว่าง EDS และ WDS คงต้องคำนึงถึงงานที่จะวิเคราะห์ หากต้องการ ใช้งานทั่วไปที่เป็นการวิเคราะห์เชิงคุณภาพอย่างกว้างๆ ของชิ้นงานที่ไม่ว่าส่วนผสมทางเคมีเลยกับวิเคราะห์เชิงปริมาณว่ามีธาตุที่มีปริมาณมาก และน้อยอยู่เท่าไร EDS ที่จะเหมาะสมกว่า แต่ว่าหากต้องการทำ X-ray mapping วิเคราะห์ธาตุที่มีปริมาณน้อยๆ (trace) หรือแยกแยะ peak ที่แทรกซ้อนแล้วย่อมต้องใช้ WDS อย่างแน่นอน

### เอกสารอ้างอิง

1. B.L.Gabriel , SEM:A User's Manual for Materials Science, ของ ASM, 1985
2. Metals Handbook Volume 10 Materials Characterization เรื่อง Scanning Electron Microscopy และ Electron Probe X-ray Microanalysis ของ ASM International, 1992
3. แม่น อมรลักษณ์ และ อุมา เพชรสุน หลักการและเทคนิค การวิเคราะห์เชิงเครื่องมือ rongpinp ชวนพิมพ์, 2535
4. Charlie R. Brooks, Ashok Choudhury, Metallurgical Failure Analysis, McGraw-Hill, Inc.,1993
5. คู่มือการใช้เครื่อง WDS รุ่น T300-TCS ของบริษัท JEOL จำกัด
6. เอกสารของบริษัท JEOL จำกัด เครื่อง SEM รุ่น JSM-5400



**รูปที่ 20** เปรียบเทียบการทำ mapping ด้วยเครื่องวิเคราะห์ WDS และ EDS